

**INSTITUTUL POLITEHNIC „TRAIAN VULPĂ”
FACULTATEA DE INGINERIE CHIMICĂ
T I M I S O A R A**

T E Z A D E D O C T O R A T

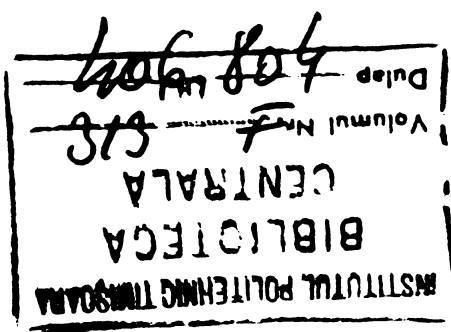
**STUDIUL VALORIZARII CERAMICE A SISTURILOR METALICOASE
DIN OCUPENTA ANINA**

ING.TIBERIU SELEAFIN

CONDUCATOR STIINȚIFIC

PROF.DR.ING.DUMITRU BECHERESCU

BIBLIOTECĂ CENTRALĂ
UNIVERSITATEA "POLITEHNICA"
TIMIȘOARA



C U P R I N S

	Fagina	
I.	Introducere	1
I. 1.	Sisturi bituminoase	2
I. 1. 1.	Sisturi bituminoase de Anina	4
I. 1. 2.	Geologie zăcământului	5
I. 1. 3.	Caracterul rocilor din cuprinsul măcămintului de șisturi bituminoase	5
I. 1. 4.	Caracteristicile calitative ale șistrilor bituminoase	7
I. 1. 5.	Posibilitățile de valorificare a șistrilor bituminoase	8
I. 2.	Argila de Boteni	8
I. 3.	Refractare ușoare	10
I. 3. 1.	Metoda de obținere a produselor refractare ușoare	11
I. 3. 2.	Metoda spumării	11
I. 3. 3.	Metoda chimică	12
I. 3. 4.	Metoda adensurilor de ordere	12
I. 3. 5.	Proprietățile produselor refractare ușoare	16
I. 3. 6.	Clasificarea refractarelor ușoare	23
I. 3. 7.	Domenii de utilizare a refractarelor ușoare	24
II.	Studii experimentale asupra argilei de Boteni și șistrilor bituminoase de Anina	28
II. 1.	Argila de Boteni	28
II. 1. 1.	Compoziția chimică	28
II. 1. 2.	Proprietățile fizico-ceramice	28
II. 1. 3.	Compoziția mineralogică	30
II. 2.	Sist carbunos de Anina	32
II. 2. 1.	Analiza chimică	32

ANEXA
TESTAMENT
COLLECTOR

	Pagina
II. 2. 2. Proprietățile fizico-ceramice	34
II. 2. 3. Comportarea la ardere a șistului	34
II. 2. 4. Resultate și discuții	35
II. 2. 5. Concluzii	41
III. Studii și încercări asupra maselor refractare obținute din șist de Anina și argilă de Boteni	43
III. 1. Comportarea la fasonare	43
III. 1. 1. Porositatea	44
III. 2. Comportarea la ardere a maselor experimentale	48
III. 2. 1. Arderea componentelor combustibile din șistul de Anina	48
III. 2. 2. Comportarea la ardere a maselor	50
III. 2. 3. Rezistențele mecanice ale maselor	55
III. 3. Concluzii	57
IV. Obținerea refracterelor ușoare din șist de Anina și argilă de Boteni în condiții industriale	59
IV. 1. Tehnologia de fabricație	58
IV. 2. Utilizarea puterii calorifice a șistului de Anina în elaborarea produselor refractare	61
IV. 3. Comportarea la ardere a produselor (Comportarea chimică și proprietățiile produsului)	(62)
IV. 4. Analiza mineralogică a produsului	62
V. Testarea refracterelor obținute în condiții de exploatare	64
VI. Concluzii generale	69
VII. Bibliografie	72-81

I. INTRODUCERE

Desvoltarea și petuoasă a economiei mondiale, determină implicit o creștere a consumului de energie. Acest proces obiectiv, a strâns după sine o diminuare rapidă a surselor primare clasice de energie, în primul rând a țării; obligând astfel la o economisire drastică a rezervelor, reducerea consumului și căutarea unor rezerve alternative.

Fără îndoială o sursă primară cu perspective de utilizare din ce în ce mai largă în viitor este reprezentată de șisturile și nisipurile bituminoase.

Sisturile bituminoase reprezintă un combustibil fosil cu o compoziție chimică și putere calorifică foarte variabilă de la zăcămînt la zăcămînt. Utilizarea șisturilor bituminoase, dintre cele mai bogate în industria combustibililor este îngreunată de necesitatea manevrării (concasare, distilare sau transportare) a unor uriașe cantități de rocă, conținutul în substanțe organice fiind de regulă sub 40%.

Valorificarea șisturilor bituminoase se axeză în principal pe următoarele direcții:

- Acoperirea drumurilor, a străzilor și trotuarelor.
- Semicoacăsificarea șisturilor cînd se obțin la o tonă de șist 68 m^3 gaze combustibile respectiv 34,4. gudron și 55,8. semicoacăs avind circa 10% carbon /1/. Se apreciază că prețul uleiului de șist se va încadra în limitele a 1,25 dolari/baril cînd astfel competitiv cu a țării.
- Utilizarea șisturilor drept combustibil în termocentrale și prelucrarea chimică a cenușii rezultate la ardere în vederea extragerii componentelor valoroase.

Incadruindu-se în aceste preocupări lucrarea de răsărită urmărește să aducă unele precizări privind utilizarea drept combustibil a șisturilor bituminoase indigene și să cerceteze posibilitatea de valorificare directă a acestora ca materie primă pentru obținerea unor refețări ușoare.

Această utilizare, care valorifică puterea calorifică a șistului presintă, cu condiția obținerii unor rezultate corespunzătoare marelui avantaj de a nu duce la acumularea unor rezidui ale procesului de ardere (cenușă, zgură) - a căror valorificare respectiv de oxidare poate să duca la dificultăți tehnico-economice însemnate.

I. 1. SISTURI BITUMINOASE

Sub denumirea generică de șist bituminos se înțeleg diverse roci bituminoase șistosice și roci lipsite de orice șistositate. Aceste roci au în ensemblul lor o origine sapropelică și pot fi considerate ca sapropelite fosile.

Compoziția lor chimică și petrografică arată că sunt roci cu baza enorganică argilosă, argilo-silicică, marnoasă și calcaroasă având un conținut de bitum variabil, preponderent sau redus.

Bitumul este un amestec de polibituminoză compusă sulfu-
rată și acetată, dintre care doar o parte sunt solubile în solventii hidrocarburilor.

Această compozitie deschide posibilitatea unui număr neli-
mit de varietăți din care se desprind cîteva tipuri principale
importante prin dezvoltarea lor mare în sedimentul scoarței pămî-
tului sau prin utilizarea lor mare în industria chimică.

La cele smintite se asociază gel de sulf, și sulfură de
 fier, fierăști, compozită și vanadiului, cuprului, molibdenului și a
 altor metale, unele rare.

Metalele sunt reținute de către organismele care au servit
ca materie primă de bituminisare. Îmbogățirea se întoarcă precipita-
rii prin H_2S , produs biogen de sapropelisare, sau unei defloculari
din soluție.

Rocile bituminoase formează complexe paternice din roci
sedimentare depășind uneori o mie de metri, în care apar varietăți
mai bogate sau mai sărace în bitum, deosebite și prin natura pistil-
lor enorganice.

Ele constituie rocile reziduale din formațiunile de petrol
vechi precum și intercalările așa de frecvente, argilosice-grenozice,
în straturile de cărbuni ale unei formațiuni carbonifere și în special
de huilă, în scoperașul și în petul ei. Sisturi bituminoase propriu-
sime sunt în general depozite de coluri argilosice și argilo-silicicase
sau marno-argilosice cu arene fine de cuart și de silicati, teste de
fossiliifere, etc., roarte șistosice, fără ca elementele filitice,
relativ puține, să impună socotea. Depozitul este de la început fin
stratificat, bitumul fiind dezvoltat mai mult stratiform, ca bende
subțiri pură.

După teste aparentele, textura șistosă datorită stratifi-
cației se dezvoltă succesiiv cu înaintarea procesului diagenetic și
slăbirea solului ca coeid protector al bitumului, incit în deposi-
tele bituminoase neșistosice la început, se accentuează succesiiv

textura găstoasă pînă ce roca se transformă într-o masă mai mult sau mai puțin pronunțată de plăci subțiri și foioase. Acest proces pur diagenetic poate fi accelerat cind rocile încă nesistoase sunt expuse în zone de oxidare sau sunt supuse unor presiuni orogenetice. În zona de oxidare suprafetele de separație se acoperă cu eflorescențe caracteristice gălbui de clune bazice și alti sulfati bazici, amestecatai cu oxizi de fier ce le dă culoarea galbenă și cu cristale aciculare și rozete de gips, etc.

În general, ocurențele de șisturi bituminoase mai sunt caracterizate atât prin prezența de bitumine libere, viscoase, asphaltice, ce transpiră sau se scurg pe șistozitatea sau diaclazele rocilor, ca un produs în mersul evolutiv al procesului de bituminizare, cât și prin emanații de CH_4 .

Între tipurile variante de șisturi bituminoase, cele mai frecvente sunt disocilele care se prezintă ca șisturi foioase argilo-silicioase, uneori subțiri ca hirtie, elastice, foarte răspândite ca șisturi cu pești. O mare parte din aceste șisturi sunt diatomite bituminoase, formând uneori serii de strate puternice, aşa zise șisturi menilitice. O dezvoltare mare în unele sisteme geologice o au calcarele marnești bituminoase în plăci.

Rocile bituminoase sunt foarte răspândite în seria compozitelor pelito-argiloase, silicoase și calcareoase de toate vîrstele geologice. O estimare sumară ne permite să considerăm că 25%, poate și mai mult, din sedimentele acestea să fie bogate în bitum încit ele să dreptul să revindice numele de roci bituminoase. Bituminele pot fi considerate printre mineralele cele mai răspândite în sedimentele scoarței pămîntului.

Privind ocurența bituminelor în ansamblul lor, se desprind noțiunile de facies de bitum și de facies de petrol valabile pentru tot sedimentarul scoarței.

Observațiile demonstrează că nu există sediment argilos sau calcaros care nu ar fi conținut primordial ușor urme de bitumine și deci substanțe organice incluse.

Dacă în sediment cantitatea de bitum este suficient de mare încit se poate în evidență prin abundență ei față de elementele minerale inorganice și împinge deci rocilor un caracter particular de conținut organic, se vorbește de facies bituminos.

Sisturile bituminoase constituie massa cea mare și dezvoltată a faciesului bituminos în toate perioadele geologice. Acest facies de șist bituminos în ocurență sa primară se prezintă: ca slabe intercalări de roci bituminifere în sedimente de cea mai

diferită natură petrografică: apoi asociat, dar subordonat, cu lignite, cărbuni bruni și huilă, secretind în genere prin transudăție bitumine grele; dar ele formează mai ales complexe de roci principal argiloase, puternice de sute și chiar de mii de metri.

Stratele cu asfalt prezintă un caz special al faciesului de bitum. Ele sunt mai întotdeauna zăcăminte de petrol primare sau secundare degazeificate, al căror petrol este rezinificat prin contactul cu atmosfera și apele dulci de infiltratie.

Sisturile bituminoase propriu-zise, din țara noastră se concentrează în depozitele liasice ale regiunii petrografice Banat. În cadrul depozitelor liasice s-au separat două orizonturi: unul cărbunos și altul bituminos.

Orizontul cărbunos este reprezentat printr-o alternanță de conglomerate mărunte silicioase, gresii argiloase, sisturi cărbunoase, argile refractare și strate lentiliforme de cărbuni. Acest orizont la Anina, Doman, Cozla-Sigăr și Rudăria conține rosturile unei bogate flori.

Orizontul bituminos este suprapus celui cărbunos fiind o treiere gradată de la orizontul cărbunos la sisturi bituminoase, care spre partea superioară devin din ce în ce mai fine și foioase, de culoare neagră.

I. 1.1. SISTURILE BITUMINOASE DE ANINA

Zăcământul de sisturi bituminoase este situat în cuprinsul bazinului carbonifer Anina - județul Caraș-Severin -, în partea de vest a munților Banatului. Aici pe lîngă huilă, argilă refractară, se găsesc și depozite de sisturi bituminoase cu intercalății de siderită.

Importanța zăcământului și domeniul de folosire cunoscut din literatura tehnică încă din secolul trecut se referă la folosirea lui pentru obținerea de energie prin ardere precum și la extractarea uleiurilor minerale.

Substanță cărbunoasă este reprezentată prin fragmente mărunte de vitrit. Structura rocii este pelitică iar textura masivă.

Lucrările pentru cercetarea sistemelor bituminoase în această zonă au inceput în anul 1963 de către Ministerul Minelor, Petrolului și Geologiei.

Ce urmare a acestor lucrări, Comisia Republicană de Rezerve Geologice, a confirmat pentru ceta de 1 ianuarie 1971 rezervele de sisturi bituminoase de la Anina la 183 milioane tone rezerve C₂ sisturi bituminoase cu o putere caloritică inferioară de

1200 Kcal/kg la 75% cenușe.

I. 1. 2. GEOLOGIA ZACAMINTULUI

Zăcămîntul de șisturi bituminoase are formă de anticinal cu direcția NNE-SSV cu o cădere de cca. 50° către vest și est pe cele două flancouri ale anticinalului.

Cecionind zăcămîntul pe direcția VNV-ESE apar următoarele formațiuni, începînd dela scoperis către culcus:

- în scoperis - marni grezoase
- în culcus - gresii micacee cu intercalații de carbune și argilă refractară
- zăcămîntul în porțiunea către suprafață este acoperit.
- Grosimea zăcămîntului este variabilă (25-90 m). Varietatea aspectului șisturilor din limita scoperis-culcus se poate urmări mai clar în partea nordică unde zăcămîntul are grosime mai mare.

Șisturile prezintă variații foarte mari în ceace privește aspectul și calitatea lor, (puterea calorifică) pe porțiuni foarte mici.

Complexul șisturilor bituminoase are în general următoarea alcătuire litologică:

- șist bituminos negricios cafeniu, ondulat cu spătură concoidală lucioasă,
- șist bituminos-cărbunos,
- șist gresos cenușiu închis, sub formă de plăci, pe alocuri împregnat cu substanță bituminosă,
- șist gresos sub formă de plăci de culoare cenușie închisă, pe alocuri cărbunos.

În ceace privește zone de alterare a șisturilor s-e remarcă că este de 2-3 m.

I. 1. 3. CARACTERUL ROCILOR DIN CUPRINSUL ZACAMINTULUI DE ȘISTURI BITUMINOASE

În urma analizelor efectuate de către I.C.E.M.I.N. București și Intreprinderea Minieră Anina, au fost determinate următoarele tipuri de roci: șisturi bituminoase-cărbunosoase, siderite, gresii și andesit prafir.

În scoperis apar parne care microscopic au culoare cenușie verzuie, ușor brună, stratificată bine cimentată cu spătură colțuroasă; fac afervescență cu HCl.

Compozitia microscopică

- carbonați	45-50%
- minerale argiloase	45-51%
- cuart	1%
- minerale nicasées	1-2%
- minerale opace	1-3%
- substanțe bituminoase și carbunoase sub 1%.	

Analizată la microscop roca este constituită dintr-o asociatie intimă de minerale argiloase și carbonați care formează fondul rocii.

Carbonații sunt reprezentati prin calcit ce apare în granule rotunjite, a căror dimensiuni variază între 0,01-0,03 mm și mai puțin apare în cuburi. Pe lângă aceste minerale care predomină, mai apar:

- granule de cuart ușor rotunjite răspândite neuniform în roca, care uneori sunt mai abundente, imprimind rocii un caracter fin gresos;
- sericitul întilnit sub formă de paiste, răspândite ușoară printre componente rocei;
- minerale opace (représentate prin pirită) apar sub formă de granule sferice reunite în cuburi sau isolat răspândite în toată masă, fiind mai frecvente în porțiunile mai argiloase;
- substanță carbunoasă (bituminoasă) apare sporadic, atât în pulberi care imprimă roci o nuanță brună, cât și ca fragmente de dimensiuni reduse de vitrit.

Structura rocei este pelitică.

Texture slab orientată.

În zărimint, în apropierea ecoperisului, roca are uneori un caracter mărmos și devine mai bituminoasă.

- Sistul bituminos-carbonos. Se prezintă microscopic ca o roca de culoare neagră-cafenie și mai rar galbuie, cu sparturi colțuroase sau concoidale, cu oglinzi de fricțiune.

Uneori această rocă este mai carbunoasă, alteleori sideritică sau gresosă.

Compozitia microscopică

Intrucît majoritatea mineralelor componente ale acestor roci sunt foarte intim asociate cît și finețea granulelor, nu permit o separare procentuală pe tipuri de minerale.

De asemena se va descrie în ansamblu modul de prezentare la microscop.

Masa fundamentală a rocei este constituită în cea mai mare parte dintr-un amestec de substanță bituminoasă-carbunoasă cu

minerale argiloase, printre care apar cuiburi de carbonați de fier, granule aleuritice de quart și sferulite de clorite ferifere.

Sferulita de clorite are culoare brună, sunt birefrigente în nuanțe de brun-oliv. Carbonatul de fier are o răspândire neuniformă, dimensiuni reduse și atunci cind spore intr-o proporție mai ridicată face trecerea la șistul bitumino-sideritic.

Substanța carbunoasă este reprezentată prin fragmente vitrice.

Structura : pelitică

Textura : masivă-neorientată.

I. 1. 4. CARACTERISTICILE CALITATIVE AL ȘISTURILOR BITUMINOASE

Intre anii 1965-1967 I.C.E.M.I.N. a efectuat studiul calitativ asupra șisturilor bituminoase de la Anina și a cenușilor acestor șisturi.

Rezultatele sunt următoarele:

Uniditatea totală = 3% (variază între 0,5 și 12,5%)

Cenușa la anhidru = 75% (variază între 11,90 și 39,90%)

Puterea calorifică inferioară = 1200 Kcal/kg (variază între 310 și 6530 Kcal/kg).

Cenușile au fost examineate pentru determinarea elementelor macro, a elementelor micro și a caracteristicilor de topire.

Compoziția chimică a cenușei:

SiO_2 = 46,55 - 57,92% Na_2O = 0,24 - 0,31%

Al_2O_3 = 22,43 - 33,70% K_2O = 1,01 - 2,17%

Fe_2O_3 = 7,15 - 13,90% V = 100 - 500 g/t

CaO = 0,55 - 5,00% MnO = 10 - 50 g/t

MgO = 0,29 - 1,29% Ni = 10 - 100 g/t

MnO_3 = 1,11 - 3,16% Ca = 10 - 50 g/t

P_2O_5 = 0,07% Mn = 10 - 50 g/t

TlO_2 = 1,10 - 1,58% B = 500 - 1000 g/t

Din punct de vedere a celor zece elemente macro determinate reiese o predominare evidentă a conținutului de $\text{SiO}_2 + \text{Al}_2\text{O}_3$ (componente acide) iar componentele bazice ($\text{Fe}_2\text{O}_3 + \text{CaO} + \text{MgO}$) sporesc în proporție foarte scăzută, ceea ce ex lici și temperatură de toiere care este întotdeauna mult mare de 1000°C .

Elementele rare și disperse prin conținutul din cenușă nu oferă posibilități de valorificare.

Se observă lipsa totală a următoarelor elemente care interesescă mai mult: Ge, Au, Ag și prezența în cantități reduse a vanadiului (V) galium (Ga) și cobaltului (Co). Se menționează că cenușă pentru determinarea elementelor micro, s-a făcut la 450°C pentru a împiedica îndepărțarea masei organice ce să este legată chimic elementul germaniu (Ge).

I. 1. 5. CONCLuzII. POSIBILITATILE DE VALORIZARE A SISTURILOR BITUMINOASE

Zăcăminte de sisturi bituminoase, ca urmare a conținutului lor în materii organice cît și constituenții anorganici, reprezentă prin volumul mare în care se găsesc, o bogăție importantă.

Natura lor complexă permite abordarea unor căi variate pentru valorificarea lor.

Principalele căi cunoscute pînă în prezent pentru valorificarea complexă a sistemelor bituminoase, după extragerea lor din zăcămînt sunt:

- utilizarea lor drept combustibil la cazanele centralelor termolectrice;
- extragerea parții organice sub formă de ulei și gaze.

În cazul acestor posibilități, sistemul poate fi utilizat direct sau cum rezultă din exploatarea minieră sau poate fi supus în prealabil unei preparări mecanice, cu scopul separării cît mai avansate a sterilului.

Residiul obținut pe ambele căi sfîrșit la urcarea în cazanele centralelor (cenușă) cît și după extragerea uleiului, poate fi prelucrat pentru obținerea unor elemente minerale valoioase ca alumina, fierul, etc., și pentru obținerea unor materiale de construcții cum ar fi: cimentul, elemente din betonul celulare autoclavat și cărămidă, etc.

Compoziția medie și plasticitatea nicio cunoscută a sistemelor duce la concluzia că numai această materie primă în limitele unei temperaturi de ardere economice, nu va permite obținerea unor produse refractare ușoare cu rezistențe mecanice corespunzătoare.

Pentru realizarea obiectivului cercetării se impune găsirea unui liant cu plasticitate ridicată pentru a permite fasonarea în condiții bune și care în același timp să fie refractor și cu un grad de vitrificare suficient în domeniul unor temperaturi mai scăzute de ardere.

Din acest punct de vedere utilizarea argilei de Botești, materie priă locală și încă insuficient explloatată față de rezervele existente, poate reprezenta o soluție avantajoasă.

I. 2. ARGILA DE BOTEȘTI

I. 2. 1. ZACĂMINTUL DE ARGILA BOTEȘTI a fost deschis în anul 1959 pe teritoriul comunei Bîrne, satul Botești, Județul Timiș, argila servind ca materie primă industriei locale pentru fabricarea cărărilor de teracotă.

În extindere, zăcământul a fost cercetat și studiat de către Institutul de Cercetări și Proiectări pentru Materiale de Construcții București, confirmându-se pentru data de 1.1.1975 în perimetrul întreprinderii extracționare Timișoara următoarele rezerve:

Rezerve geologică - mii tone

Categorie B = 21,2

Categorie C₁ = 164,1

E + C₁ = 185,3

Litologic zăcământul are următoarea succesiune :

- în bază peste listuri cristaline, urmează pietrișuri și nisipuri groși, care la partea superioară au o granulație mai fină;

- peste nisipuri, urmează un strat de argilă galbenă; - argila galbenă suportă la rândul său stratul de argilă vinătă-cenușie de vîrstă pontiană cu o grosime cuprinsă între 3-7 m. - peste acestea urmează coperta, constituită din argilă galbenă cu o grosime de 3-6 m.

Au fost studiate argilele cenușii-vinete, care prezintă un aspect unsuros și care au un indice mai ridicat de refractaritate 158-171.

I. 2. 2. Unele cercetări și studii efectuate anterior asupra argilei de Botești /2.3/ cu avut ca scop posibilitatea valorificării acestor argile în industria ceramicii fine pentru construcții.

După cum reiese din datele analizelor și încercărilor efectuate, argile refractare de Botești reprezintă următoarele caracteristici:

- Compoziția chimică crudă în tabelul 1.

Tabelul 1.

	SiO ₂	Al ₂ O ₃	Fe ₂ O ₃	TiO ₂
	10,66-13,32	45,93-52,50	29,00-36,00	3,00-3,49
				0,41-0,67
CaO%	16,01	K ₂ O%		Na ₂ O%
0,76-1,05	1,30-2,28	2,29-2,61		0,40-0,69

- Refractaritatea : $1610 - 1710^{\circ}\text{C}$

- Plasticitatea după Pfefferkorn : $31,0 - 35,5$

- Studiul microscopic pune în evidență fragmente de feldspat în parte alterat, granule de quart, incluziuni rare de limonit, hematit, muscovit, înglobate într-o masă ceolinoasă cu aspect pămîntos.

Examinîndu-se comportarea la ardere a argilei de Botesti funcție de compoziție chimică, mineralologică și granulometrică s-a constatat urmatoarele:

- Argila are un conținut ridicat de SiO_2 și Al_2O_3 care variază în limite destul de largi, prezența impurităților (Fe_2O_3) în cantitate relativ mare.

O compoziție granulometrică cu frâțiuime fină sub 2 mm. ridicată în care predomină mineralul argilos ceolinitul, ilitul și montmorilonitul, posedă refractaritate ridicată și rezistență mare la deformare sub sarcină proprie în timpul arderei.

- Prin reacția oxiziilor principali ai argilei (SiO_2 și Al_2O_3) se formează compuși de tip spinelic sau faislitic. În supra Al_2O_3 oxizii de fier și ocazional dind compuși de tip spinelic /4.5%.

- Reacționează între ele, dind topituri de joasă temperatură, care provoacă o sudare a particulelor argiloase între ele ceea ce dace la vitrificarea probei prin reducerea porozității.

- Funcție de comportarea la ardere, s-au stabilit condiții de folosire a argilei de Botesti în industria ceramică fine de construcții.

I. 3. REFRACȚIA UGOARE

O consecință directă a ritmului înalt al dezvoltării industrii din țara noastră și apariția de noi tehnologii cu regimuri termice intensificate este, un necesar tot mai mare de produse refractare cu caracteristici fizico-mecanice și chimice superioare. Creșterea continuă a cerințelor determină în mod firesc o preocupare constantă, pentru căile de reducere a consumurilor specifice de refractare. În această direcție industriei de produse refractare îi revine sarcina să găsească tehnologiile necesare obținerii unor produse cu calități superioare celor folosite în prezent, care să asigure o durată optimă de funcționare a agregatelor în condiții de rentabilitate.

Într-o preocupare de mare actualitate ale industriei refractarelor, preocupări amplificate de nevoie de economisirea energiei și combustibililor, este realizarea unor refractare silico-cluminoase ugoare. Refractarele ugoare care se folosesc la temperaturi variind între 700°C și 1200°C (pentru temperaturi mai mari

este necesară o cantitate mai mare de Al_2O_3 în compoziție și se caracterizează printr-o greutate specifică spărată de $0,5\text{--}1,4 \text{ g/cm}^3$ și o porozitate cuprinsă între 30-70%.

Analizând bilanțurile termice la diverse tipuri de cuptoare se constată că o mare parte din căldura introdusă se pierde prin emisie în zidărie cuptorului și prin radiație. Aceste pierderi variază de la 20% la 40% în funcție de tipul agregatului termic folosit.

Refractarele ușoare posedind o densitate spărată mică (sub $1,4 \text{ g/cm}^3$), o termoconductibilitate redusă și fiind caracterizate prin porozitate peste 30%, permit satisfacerea unor cerințe legate de o izolare mai bună decât refractarele obținute, reușind în mare parte să se reducă pierderile de căldură ce au loc în cuptoare.

Marea diversitate a refractarelor ușoare, folosirea unui anumit tip pentru capturarea agregatelor termice este justificată de faptul că alegerea se realizează în funcție de construcția și destinația agregatului termic, de compoziție chimică și mineralologică, de proprietățile ceramice și fizice, precum și de siguranță și durabilitatea lor în condiții cerute de exploatare. În mod curent refractarele ușoare se clasifică în funcție de greutatea specifică spărată, porozitate și temperatură de utilizare.

I. 3. 1. METODA DE OBTINERE A PRODUSELOR DIN CERAMICĂ UȘOARE

Pentru obținerea refractarelor ușoare s-au elaborat numeroase metode. Alegera uneia sau altăia dintre acestea este condiționată atât de disponibilitățile de materii prime cât și de proprietățile produsului finit.

I. 3. 2. METODA GRUMARII

Conform acestei metode se pescău de la o bazotină de șamotă în care se adaugă agenți spumanti.

Agenții de spumare trebuie să asigure formarea unei cantități de spume stabile și cu pori fini care să nu se distrugă la prepararea massei ceramice. Massa ceramică astfel obținută este turnată în forme metalice cu care se obțin produsele brute care sunt uscate și arse.

Avantajul metodei constă în posibilitatea obținerii unor refractare ușoare cu porozitate 60-80%.

În U.R.S.S. și Ungaria s-a obținut prin această metodă produse refractare ușoare cu greutăți volumetrice de $0,4\text{--}0,8 \text{ g/cm}^3$ /6/. Din punct de vedere tehnologic metoda este mai complexă deoarece necesită și introducerea unei cantități mici (2-3%) de adosuri ce ușurează uscarea. Se folosesc drept adosuri de uscare rumeguș și

cărbuni. Prețul de cost al produsului crește deoarece este necesară mărunțirea fină a acestor adăsuri. Prin introducerea în masa ceramicei a unor mineralizatori se reduce procesul de uscare și se obțin produse cu structură îmbunătățită. /7/.

Produsele refractare obținute prin această metodă au pori fini, greutate volumetrică mică și rezistență la compresiune ridicată.

Ceramicele refractare ușoare se utilizează la captușirea cuptoarelor de tratament termic, captușirea conductelor de recuperare a gazelor calde și captușirea bolții schimbătoarelor de căldură folosite în industria siderurgică. Deșeurile acestor ceramici după măcinare se folosesc ca agregate pentru betoane refractare ușoare. Greutatea specifică aparentă a betonului astfel obținut este de minimum $0,8 \text{ g/cm}^3$ (tabelul 2).

I. 3. 3. METODA "CHIMICA" (METODA IX. ALTEARII)

Această metodă se caracterizează prin faptul că se folosesc substanțe, generatori de gaz. În materialele prime de bază (argila, șamotă, quartă, nisipuri, etc.) aflate sub formă de barbotină se adaugă pulbere de aluminiu, carbureni, dolomită și un solid. În urma reacției chimice se degajă hidrogen respectiv bioxid de carbon. Pentru a obține o structură poroasă stabilă se folosesc ca adăsuri cimenturi hidraulice, gips, etc.

Aplicarea metodei permite obținerea de refractare ușoare (sub $0,3 \text{ g/cm}^3$) cu indici buni și proprietăților caracteristice pentru aceste produse.

I. 3. 4. METODA ADĂSURIILOR DE ARdere

Metoda se bazează pe includerea în masa refractara a unor materiale care ard în timpul procesului de fabricație creându-se astfel o structură poroasă a produselor. Până în 1925 a fost folosit ca adăs de ardere coar zumegeșul, pentru că apoi nu se întâlnă tot mai mult carbunele marunțit și coasul.

În Jugoslavia și Ucraina se folosesc drept adăsuri combustibile cojile de la decorticarea orezului obținindu-se produse cu greutate specifică aparentă de $1,0-1,3 \text{ g/cm}^3$. /6 și 7/.

Producția maselor ceramice se realizează prin procedeul plastic sau semișcasat, iar fasonarea se realizează prin presare semișcasat cind se folosesc drept adăsuri solide: coas, carbune brun, șisturi bituminoase.

Compoziția adăsuriilor se alege în aşa fel încât să se asigure o echilibrată structură și porozitate a produsului ars, aceasta deoarece forme și dimensiunile porilor exercitată influență mare asupra

cele mai importante proprietăți a refractarelor ușoare - conductibilitatea termică.

Adăosurile folosite trebuie să îndeplinească următoarele cerințe /8/ :

- Conținut scăzut de substanțe volatile.

La un conținut prea ridicat de substanțe volatile e parte din acestea ar distila din carboni la temperatură de $500\text{--}600^{\circ}\text{C}$ deci înainte de atingerea temperaturii de sprindere scăzând puterea caloriceă.

- Compoziție granulometrică corespunzătoare.

O mărime a granulelor mai mare de 2-3 mm, reduce rezistența mecanică a produsului. Aceste influență totodată și rezistența la îngheț-dengheț, precum și capacitatea de absorbție a apăi.

Fracțiunea sub 0,2 mm prelungeste timpul de ardere a produselor în anumite condiții. În cazul în care proporția fracțiunilor sub 10, depășește 70% (în cazul maselor bogate în minerale argiloase) se poate produce umflarea și deformarea produsului. Umflarea se produce ca urmare a reducerii Fe_2O_3 la oxid feros și magnetită, proces însoțit de degajare de oxigen. Acest neajuns se remediază prin adăugarea de nisip grosier sau agură în masa ceramică.

- Puterea calorică constantă.

În cazul unei păeri calorice variabile se constată următoarele neajunsuri :

- umflarea și deformarea produsului ;

- înrăutățirea rezistențelor mecanice.

Umflarea precum și înrăutățirea rezistențelor mecanice pot apărea și ca urmare a unei neuniformități a masei ceramice.

Pericolul microzării rezistențelor mecanice există numai în cazul argilelor cu conținut de nisip mare și marnă. Aceste reacții sunt intențioane și chiar la introducerea a 3-4% adăosuri de ardere.

Neajunsul se înlătură prin amestecarea corespunzătoare a straturilor de argilă. Umflarea și prelungirea arderii sunt efecte ale unei amestecări insuficiente. O cantitate prea mare de adăosuri de ardere duce la obținerea unor produse suprasarcină.

În masa de argilă se poate introduce fără consecințe nefavorabile 70-80% din cantitatea de calorii necesară arderii produselor.

În tabelul 3 sunt date caracteristicile tehnice ale produselor refractare ușoare, fără adăosuri de ardere.

T A B E L U T

प्राचीन भारतीय विज्ञान एवं तकनीक

OBJ.1 - Datele privind ceeaștelor de coaducabilitate termice () sunt informative.
OBJ.2 - Caracteristicile liniștite renunță producătoare să aducă cu caracter

Digitized by srujanika@gmail.com

T A B E L U L 3

C a r a c t e r i s t i c a s	T	P	U	D
	I R S 12	I R S 14		
Densitatea sparentă maximă g/cm ³	1,2	1,4		
Temperatura maximă a începutului de deformare sub sarcină de 1 kgf/cm ² °C	1100	1150		
Conductibilitatea termică maximă (λ) Kcal/m.h. °C				
- la 200°C	0,25	0,30		
- la 500°C	0,35	0,38		
- la 800°C	0,40	0,45		
Resistența maximă la compresiune Kgf/cm ²	40	50		
Temperatura maximă de utilizare °C	1050	1100		

In tabelul 4 sunt date caracteristicile tehnice ale produselor refractare ușoare arse cu adăsuri de ardere.

T A B E L U L 4

C a r a c t e r i s t i c a s	T	M	P	U	D
	I C R U 10	I C R C 12	I C R C 14		
Densitatea sparentă maximă g/cm ³	1,0	1,2	1,4		
Temperatura minimă a începutului de deformare sub sarcină de 1 Kgf/cm ² °C	1100	1150	1200		
Conductibilitatea termică maximă (λ) Kcal/m.h. °C					
- la 200°C	0,20	0,25	0,30		
- la 500°C	0,30	0,35	0,38		
- la 800°C	0,35	0,40	0,45		
Resistența minimă la compresiune Kgf/cm ²	40	50	80		
Temperatura maximă de utilizare °C	1050	1100	1150		

Avantajele procedeului:

- Se valorifică economic carbuni ce calitate inferioară și așezările ce conțin substanțe combustibile.
- Cantitatea de azură și cenusa ce trebuie evacuată din cuptor este mică.
- Cantitatea de argilă folosită scade, obținindu-se produse cu greutate specifică spărată redusă.

- Prin reducerea consumului de combustibil, prețul de cost al produsului scade.

I. 3. 5. PROPIETATILE PRODUSELOR REFRACȚARE UGOARE

Cele mai importante proprietăți sunt: greutatea specifică aparentă și conductibilitatea termică. Acestea se influențează reciproc după cum ilustrează și figurile 1 și 2.

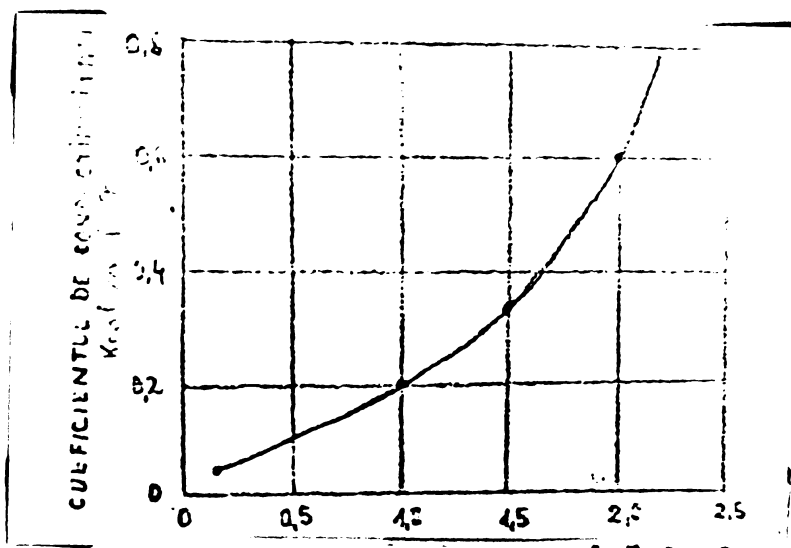


Fig.1. Conductibilitatea termică în funcție de densitatea aparentă.

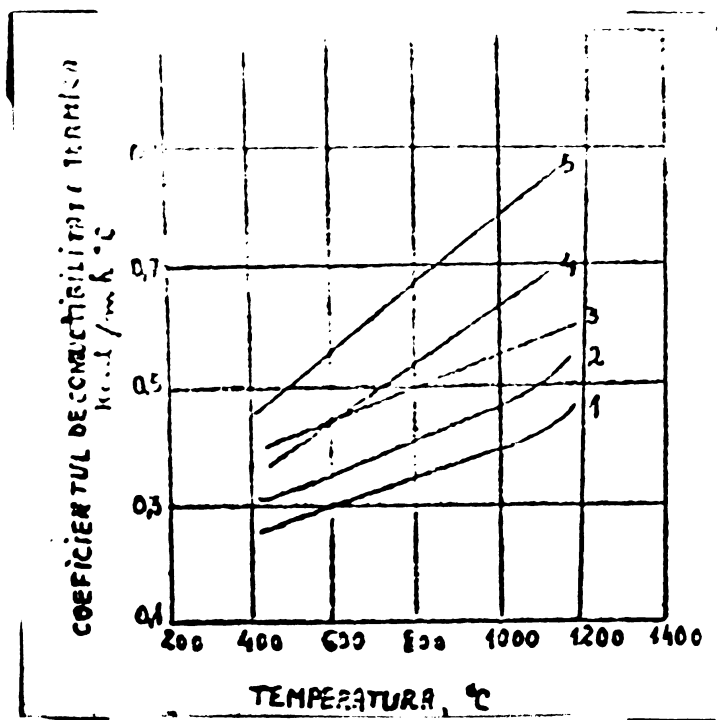
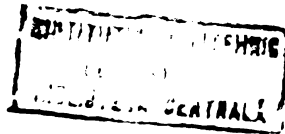


Fig.2. Variația conductibilității termice a produselor refracțare ugoare.

1. șamotă $0,6 \dots 0,8 \text{ g/cm}^3$;
2. șamotă $0,8 \dots 1,0 \text{ g/cm}^3$;
3. șamotă $0,1 \dots 1,3 \text{ g/cm}^3$;
4. silică $0,8 \dots 1,0 \text{ g/cm}^3$;
5. silică $1,0 \dots 1,3 \text{ g/cm}^3$.



Asupra conductibilității termice exercită o influență deosebită structura produsului ușor. Se presupun două tipuri de structuri:

- una în care porii sunt distribuiți uniform în masa refractoră, iar materialul solid reprezintă o fază continuă;

- a doua în care particulele de material sunt înconjurate uniform de aer, porozitatea materialului fiind continuă.

La aceeași porositate conductibilitatea termică este mai mare cînd fază continuă reprezintă o substanță solidă, față de condițiile în care aerul reprezintă fază continuă /9/. De altfel o astfel de structură asigură o rezistență mai înaltă.

La porositate egală, conductibilitatea termică depinde de dimensiunea porilor; crește cu creșterea dimensiunilor acestora și cu reducerea temperaturii (fig.3).

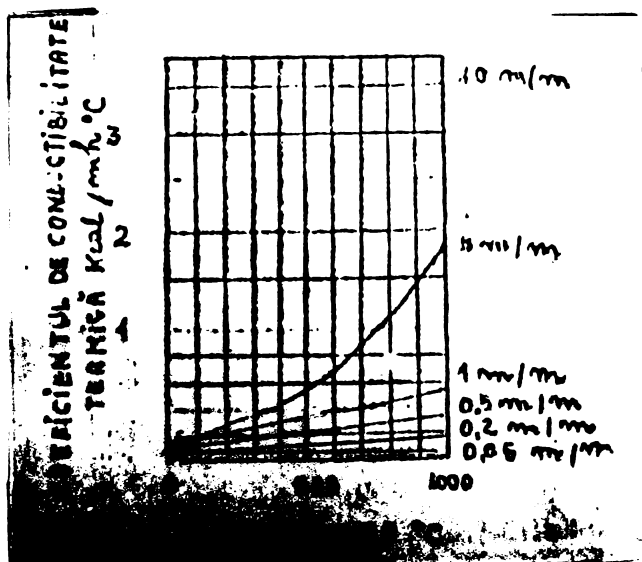


Fig.3. Variatia conductibilității termice cu temperatura și dimensiunea porilor.

Dacă porii sunt mari ($\varnothing 3\text{--}4 \text{ mm}$) apare o radiație interfacială în pori și o condisiune care contribuie la transferul caloric de la fază caldă la cea rece a cîrâmisi. Cu urmare la temperaturi de peste $600\text{--}800^\circ\text{C}$ cînd transferul de căldură prin radiație se face simțit, conductibilitatea termică a materialelor refractare cu granulație mare crește brusc, înrautătindu-se proprietățile termoisolante. Odată cu creșterea dimensiunilor porilor peste o anumită limită se intensifică și transferul de căldură prin convecție.

Dacă porii sunt mici (sub 1 mm) radiația este neglijabilă și nu are loc nici convecția. Cu peste trage concluzia, confirmată și de practică, că porii fini și fisurile în contactul dintre particulele de material micșorează conductibilitatea termică.

406 804
J13 F

Conductibilitatea refractarelor ușoare depinde și de compozitia chimică și mineralogică. Odată cu creșterea temperaturii, conductibilitatea substanțelor vitrose crește (se an pozitiv al coeeficientului temperaturii) iar a substanțelor cristaline scade (se an negativ al coeeficientului temperaturii). La modificarea proporției dintre faze vitroasă și cea cristalină, poate varia coeeficientul de conductibilitate termică.

Conductibilitatea termică depinde de mediul care umple porii, precum și de presiunea acestuia.

Odată cu scăderea presiunii în pori scade și conductibilitatea. Astfel, la rarefiere conductibilitatea produselor ceramice cu pori fini scade cu 0,2-24% (pe întreg intervalul de temperatură).

Dacă porii sunt umpluți cu gaz având conductibilitatea termică mai mare decât a produsului refractor, crește /10/. Este cazul hidrogenului figura 4.

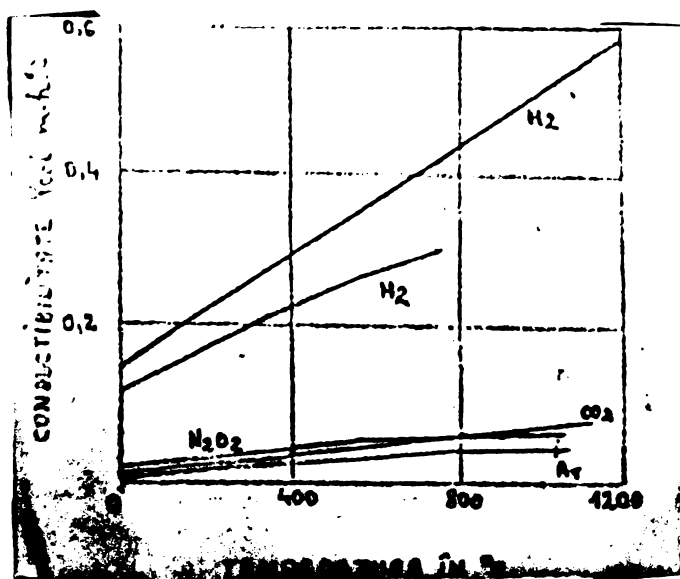


Fig.4. Varietatea conductibilității termice a unor gaze cu temperatură.

Se va ține deci seama de posibilitatea creșterii conductibilității termice a produsului refractor, datorită umplutii porilor cu gaze având conductibilitatea mai mare decât a aerului, la alegeră refractarelor ușoare care funcționează în atmosferă controlată.

În figurile 5, 6 și 7 se redau variațiile conductibilității termice a cărămidelor refractare ușoare în funcție de temperatură și atmosfera de lucru.

Pentru comparație în diagrame sunt valorile λ_p corespunzătoare, calculate pentru diferite gaze, precum și conductibilitatea cărămidii în aer λ_L .

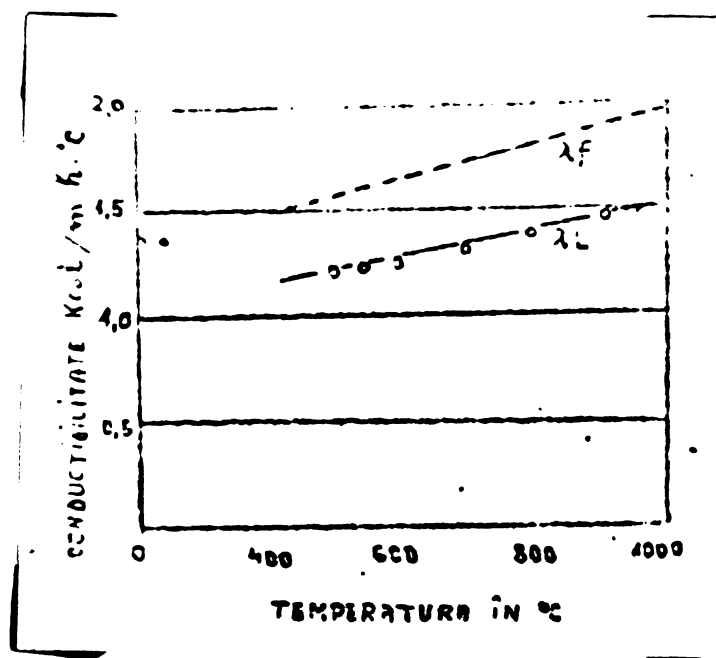


Fig.5. Conductibilitatea cărămidii ușoare refractare din șamotă, în aer (λ_L) și conductibilitatea calculată a materialului (λ_F) solid fără pori în dependență de temperatură.

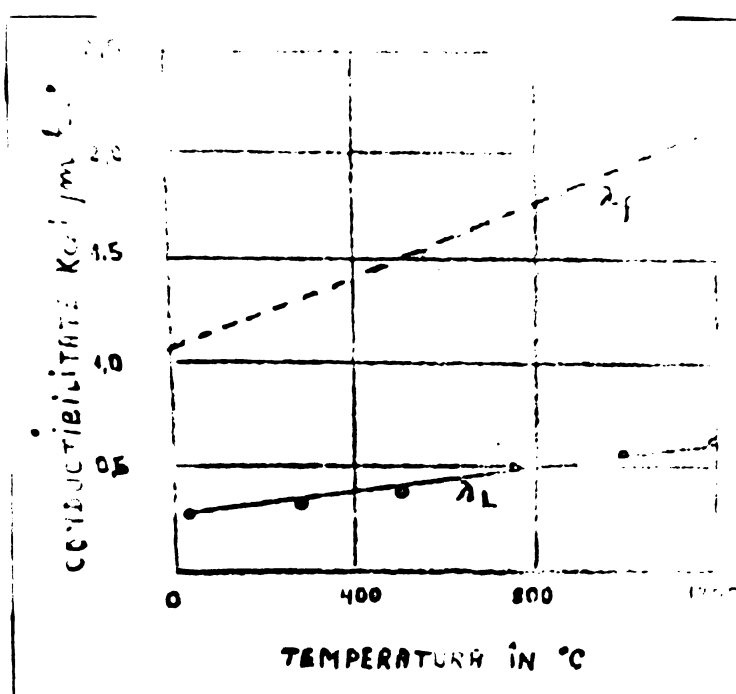


Fig.6. Conductibilitatea cărămidii dure din șamotă în aer (λ_L) și conductibilitatea calculată a materialului (λ_F) solid fără pori în dependență de temperatură.

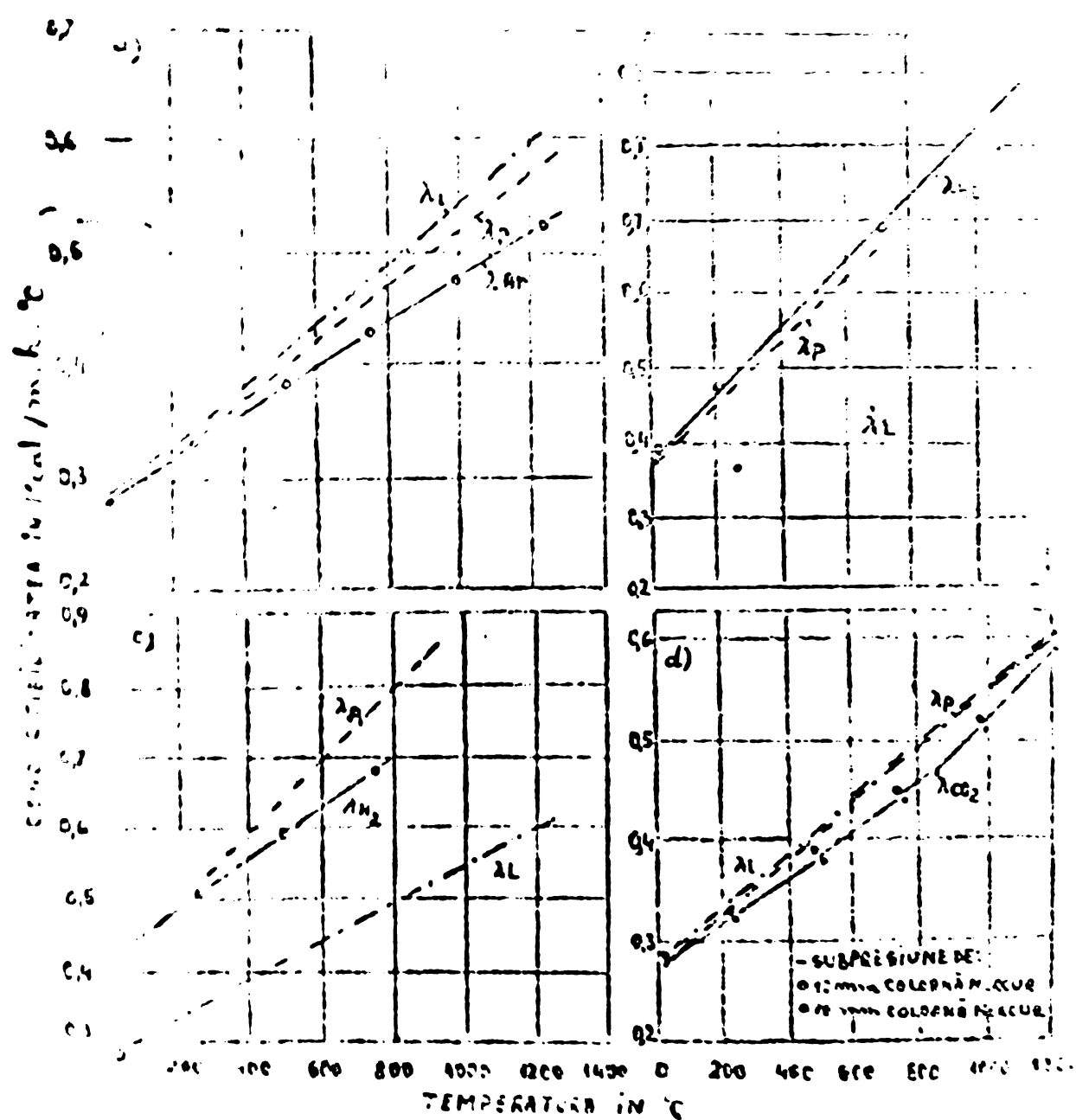


Fig.7. Valori măsurate pentru conductibilitatea cărămidii refractare uscate din șamotă în dependență de temperatură în diferite gaze a/ în argon (λ_{Ar}); b/ heliu (λ_{He}); c/ în hidrogen (λ_{H_2}) și d/ în bicoxid de carbon (λ_{CO_2}).

Pentru comparație sunt înregistrate în figuri respectivele valori λ_p corespunzătoare, calculate pentru fiecare din gaze, precum și conductibilitatea cărămidii în aer λ_L .

In fig.7d sunt introduse valorile măsurate atât la subpresiune a bicoxidului de carbon de 0,10 m/m coloană mercur, cît și la o subpresiune de 10 m/m coloană mercur.

Permeabilitatea față de gaze la refractarele ușoare este de 2,5 - 4 ori mai mare decât aceea a refractarelor cu densitate normală. Cauză principală a infiltrării gazelor prin peretii cupozaresc constă în permeabilitatea rosturilor pe care Keller /11/ o apreciază de 94% din permeabilitatea generală a peretilor, restul de 6% fiind permeabilitatea față de gaze a materialului peretilor. Deoarece pierderile la infiltrare nu depășesc 4% din cantitatea totală de gaze de ardere, permeabilitatea față de gaze a peretilor nu exercită o influență mare asupra economiei de funcționare a cuptorului.

In figura 8 este redată dependența permeabilității de dimensiunea porilor.

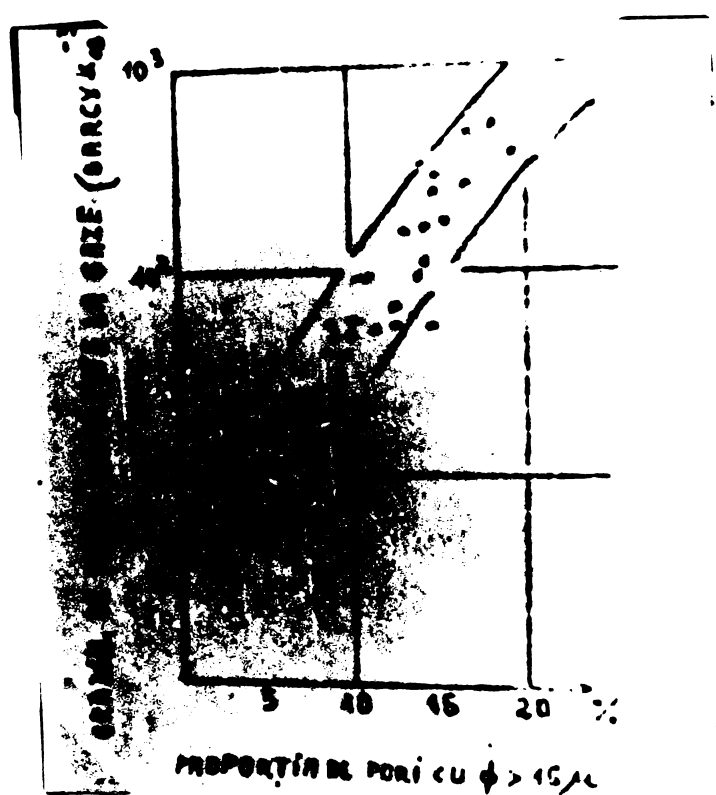


Fig.8. Relația între diametrul porilor $\phi > 15 \mu\text{m}$ și permeabilitatea.

- Stabilitatea termică la unele produse refractare ușoare în special cu masa volumetrică mică, este scăzută.

TABLEAU 5

Distansie materiale speci- ale	0,5	1000	Conductibilitate termică (valoare medie) la 0°C în funcție de temperatură						1200°C
			200°C kg/cm ²	200°C	400°C	600°C	800°C	1000°C	
Argile și fibre minereale speci- ale	0,43	1100	63	0,099	0,134	0,174	0,204	0,235	-
Producări ușoare cu confințe și pe aluminiu.	0,9	1500	17 - 20	0,279	0,312	0,347	0,377	0,422	-
Producări ușoare stilice	0,93	1600	11,2 - 15	0,202	0,273	0,342	0,427	0,488	-

I. 3. 6. CLASIFICAREA REFRACARELOR UȘOARE

Proprietățile fizice ale diferitelor tipuri de refracare ușoare diferă cîtorită compozitiei și metodelor de obținere diferite.

Odată cu creșterea densității aparente, crește concomitent temperatură tasării suplimentare și temperatura limită de exploatare a produselor din șamotă cu conținut înalt de aluminiu.

In țara noastră STAS-ul 130-72 clasifică refracarele ușoare după porozitatea lor aparentă (...) în :

- ușoare, porozitate peste 30% ;
- Ușoare U_1 , 30-45% porozitate ;
- Ușoare U_2 , 45-75% porozitate ;
- Ușoare U_3 , peste 75% porozitate,

In tabelul 5 sunt redată caracteristicile fizice și tehnologice ale unor produse refracare ușoare întrebunțate mai ales la noi.

In tabelul 6 se redau caracteristicile unor produse refracare ușoare termoisolante.

T A B E L U L 6

Densi- tatea g/cm ³	Tempe- ratura max.de utiliz °C	Rezisten- ța la com- presiune kgf/cm ²	Conductibilitatea termică în Kcal/m.h.°C la temperaturi medii				
			200°C	400°C	600°C	800°C	1000°C
0,4	1300	8	0,125	0,153	0,167	0,200	-
0,44	1100	20,7	0,100	0,145	0,150	0,180	-
0,47	1260	7	0,100	0,117	0,142	0,162	0,185
0,5	1300	12	0,145	0,195	0,182	0,225	-
0,5	1300	22	0,120	0,150	0,183	0,220	-
0,55	1250	10	0,105	0,120	0,155	0,150	0,165
0,6	1400	18	0,170	0,180	0,202	0,232	0,295
0,67	1250	16	0,192	0,175	0,195	0,212	0,255
0,7	1420	27	0,200	0,207	0,223	0,250	0,305
0,7	1450	30	0,225	0,248	0,278	0,315	0,370
0,7	1400	37	0,210	0,212	0,233	0,260	0,300
0,7	1240	9	0,160	0,194	0,219	0,255	0,300
0,75	1350	27	0,184	0,208	0,233	0,257	0,281
0,8	1450	38	0,220	0,227	0,248	0,285	0,322
0,8	1250	45	0,245	0,268	0,303	0,350	0,420
0,9	1450	55	0,230	0,237	0,262	0,305	0,380
1	1380	22	0,215	0,245	0,271	0,299	0,328
1	1450	75	0,240	0,270	0,273	0,310	0,395
1,15	1300	100	-	-	0,320	0,340	0,420

Datorită tehnologiei de fabricație rezistențele mecanice nu sunt neapărat proporționale cu densitatea.

0,5 densitate - 22 kg/cm^2

0,7 densitate - 9 kg/cm^2

Din cauza dimensiunilor porilor o cărămidă cu densitate 0,5 poate avea o conductibilitate termică de $0,225 \text{ la } 800^\circ\text{C}$ în timp ce alături de o densitate de 0,65 are o conductibilitate termică de $0,215$.

I. 3. 7. DOMENII DE UTILIZARE A REFRACTARILOR UȘOARE

Refractarele ușoare termoizolante se utilizează din ce în ce mai mult la construcția cupoarelor industriale.

După temperatură de utilizare se pot deosebi :

- cărămizi refractare ușoare pentru zidarie de ușoară utilizată pînă la $900\text{--}1100^\circ\text{C}$;

- cărămizi refractare ușoare din argila și șamotă utilizate pînă la 1200°C ;

- cărămizi refractare ușoare silice și cele care conținut ridicat de Al_2O_3 , cele de cromit și magnesit utilizate peste 1200°C .

Temperatura maximă de utilizare, adică temperatura pînă la care cărămidă termoizolantă își păstrează o constantă dimensională suficientă, nu poate fi determinată decît experimental. Ea nu depinde numai de compoziția chimică și mineralogică ci și de procentul și formă porilor.

Din cauza porozității lor ridicate, cărămizile refractare ușoare prezintă o rezistență mecanică mai slabă și au o tendință de a se contracta la temperaturi ridicate. Aceasta este motivul pentru care cărămizile refractare ușoare având însă densitatea spărată de circa 1 g/cm^3 au găsit cea mai largă utilizare.

Arderea lor trebuie efectuată peste temperatură de utilizare, condiție deosebit de necesară pentru cărămizile care conțin cantități mari de sticlă sau silicati de aluminiu.

Pentru a determina temperatura maximă de utilizare se recomandă să se efectueze încercări de durată la temperatură constantă. Izolare exoterică poate conduce la o micșorare a gradierului de temperatură din zidurile refractare, fapt de care trebuie să se țină seama la stabilirea temperaturii limită de utilizare a cărămizii termoizolante. Trebuie să se aleagă o sarcină în timpul încercărilor în concordanță cu densitatea spărată. Astfel o cărămidă termoizolatoare cu o densitate spărată de $0,7 \text{ g/cm}^3$ ar trebui să fie încercată la o sarcină de $0,7 \text{ kg/cm}^2$ ceea ce

coresponde unei încercări pe o înălțime de 10 m. a cărămizilor de acest tip.

Cărămizile refractare ușoare prezintă avantaje la folosirea în cuptoarele care nu sunt supuse stacului agentilor corozivi, ca de exemplu în cuptoarele de tratament, deoarece grosimea zidurică poate fi redusă la aproximativ 300 mm.

Reducerea grosimii totale a păreților agregatelor termice se poate ilustra prin următoarele două exemple din figura 9.

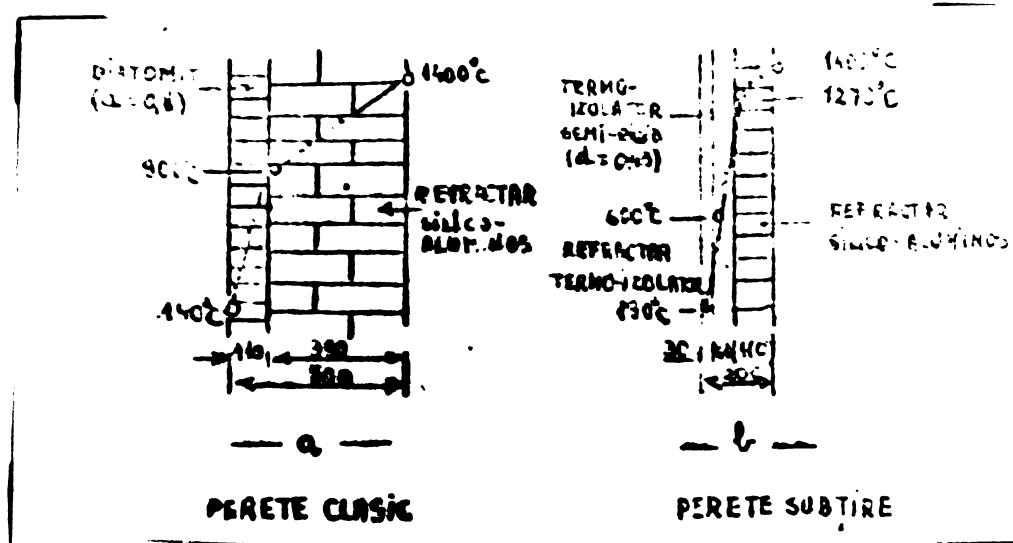


Fig.9.

Figura 9, prezintă un zid cu o grosime de 390 mm format din cărămizi silico-aluminoase cu densitatea 1,8 și cărămizi de distomit cu densitatea 0,8 în grosime de 110 mm.

In cazul unei temperaturi interioare de 1400°C gradientul de temperatură este cel ilustrat în figură.

Figura 9b, înfățișează schema unui zid de concepție modernă format din cărămizi refractare silico-aluminoase de densitate 1,8 cu grosimea 110 mm, un strat de refracție termoizolante de 0,5 densitate cu grosime de 60 mm și un strat de 30 mm lăci termoizolatoare semi-rigide cu densitate 0,45. Izolația termică este realizată egal cu cea arătată în cazul precedent.

La aceeași temperatură interioară de 1400°C corespunde în ambele cazuri o temperatură la exterior de 140°C . Trebuie arătat că, în primul caz soluția propusă este unică ce se poate realiza cu materialele respective, deoarece grosimea stratului refracție

era condiționată de necesitatea ca temperatura la zona de contact cu diatomitul să nu depășească 900°C . În cazul doi soluție este avantajoasă datorită faptului că stratul de material refracțiar termoisolator poate suporta o temperatură de 1270°C .

Aventajele ultimei soluții sunt următoarele :

- micșorarea gabaritului exterior al zidăriei, sau posibilitatea de mărire a spațiului anterior, în cazul că se păstrează dimensiunile exterioare ale cuptorului;

- micșorarea considerabilă a greutății zidăriei de la 790 la 245 kg/m^2 , ceea ce conduce la o micșorare a energiei termice absorbite de pereti.

Se trebuie tot mai mult la folosirea peretilor subțiri. Se mai mențin peretii groși datorită stabilității zidăriei, dar aceasta poate fi esurată și la peretii subțiri plani dacă nu sunt inclinați față de verticală iar la peretii cilindrici problema stabilității nu se pune.

Grosimea stratului refracțiar este limitată de condiții de durabilitate. Grosimea stratului termoisolator nu trebuie să fie prea mare deoarece poate produce o supraincărcare a materialului refracțiar, în dauna durabilității lui.

Se recomandă să nu se exagereze cu izolarea termică a zidăriei, deoarece în acest caz temperatura ar putea depăși limita maximă suportată de materialele de izolare. Acest inconvenient se poate evita folosind în zidărie de izolație un aménajament adecvat de diferite calități de cărămidă. Pentru realizarea unor zidării căt mai subțiri se folosește adesea o construcție din trei sau mai multe straturi de cărăniș. Se recomandă ca la interior să se pună mai întâi o cărămidă refracțiară compactă, urmată apoi de o cărămidă refracțiară termoisolatoare cu comportare bună la foc și densitate aparentă relativ mare. După aceasta urmează o cărămidă termoisolatoare de densitate mică și cu comportare ceva mai slabă la foc, dar care crează un gradient mare de temperatură. În acest fel se poate folosi în spatele ei un strat de vată de sticlă, sau de vată de azură. Fața exterioră a zidăriei trebuie să prezinte o diferență de temperatură căt mai mică posibil față de aerul înconjurător, pentru ca pierderile de căldură prin pereti și consumul de căldură al cuptorului să fie căt mai mici.

In cupoarele bine izolate, la care zidăria bună conduce căldură a fost înlocuită cu o zidărie cu o bună izolație termică, temperatură de regim se realizează adesea cu jumătate din timpul necesar la o izolație necorespunzătoare.

O mare atenție trebuie acordată însidirii cărămisiilor, deoarece orice neglijență la execuțarea zidăriei poate să micșoreze durabilitatea ei. De multe ori, este necesară o ajustare foarte exactă, iar uneori este necesară chiar netezirea cărămisiilor prin șlefuire. Trebuie să se țină seama de dilatarea cărămisiilor pînă la temperatura de utilizare și să se prevadă rosturi de dilatare orizontale și verticale.

De multe ori, în cazul temperaturilor mari, folosirea unor cărămisi cu dimensiuni mai mici, reprezintă un mare avantaj pentru durabilitatea zidăriei, ca urmare a faptului că în acest caz elasticitatea ei crește (la rosturi).

**II. STUDII EXPERIMENTALE ASUPRA ARGILEI DE BOTEŞTI
SI SISTURILOR BITUMINOASE DE ANINA**

II. I. ARGILA DE BOTEŞTI

Studiile exhaustive realizate asupra argilei de Boteşti /2.3/, ne-au facut să nu determinăm deficit caracteristicile chimico-fizico-ceramice și mineralogice ale lotului actual expăsat în vederea alegării compozitiei optime ale maselor experimentate.

II. I. 1. Compoziția chimică, a argilei determinată este:

P.C.	800°C	8,30%	făță de materialul uscat.
	900°C	8,84%	
SiO ₂ %	49,59		
Al ₂ O ₃ %	32,00		
TiO ₂ %	3,58		
TaO ₂ %	0,61		
VaO %	0,38		
MgO %	1,59		
K ₂ O %	2,30		
Na ₂ O %	0,45		

II. I. 2. Proprietățile fizico-ceramice ale argilei determinate conform STAS 229-66 sunt redate în tabelul 7.

T A B E L U L 7

1.- Plasticitatea după Pfefferkorn	34,2
2.- Granulația rezid. pe sită 0,06 mm	0,1
3.- Rezistența la tractiune în kg/cm ²	21,2
4.- Apa de fasonare %	36,5
5.- Puterea liantă g/cm ²	271
6.- Refractaritatea	1710°C
7.- Contractia la uscare și ardere %	100°C - 10 900°C - 11,3 1000°C - 15,6 1300°C - 17

- | | |
|-----------------------------------|----------------------|
| 8.- Culocrea la ardere | 900°C - galben |
| | 1250°C - gri deschis |
| | 1350°C - gri deschis |
| | 1260°C |
| 9.- Punctul de vitrifiere | cca. 300°C |
| 10. Interval de vitrifiere | 900°C - 14,2 |
| 11. Absorbția apă % | 1300°C - 0,60 |
| | 1300°C - 0,44 |
| 12. Porozitatea % | 900°C - 2,4 |
| | 1000°C - 1,5 |
| | 1300°C - 0,9 |
| 13. Deformare sub sarcină proprie | 900°C - 1,0 |
| | 1000°C - 4 |
| | 1300°C - 10 |

Comportarea la ardere s-a studiat pe corpuri de probă supuse arderii în intervalul de temperatură $900\text{--}1300^{\circ}\text{C}$. Determinările asupra refractarității s-au efectuat în intervalul $1400\text{--}1730^{\circ}\text{C}$.

Compoziția granulometrică s-a determinat prin cernere pentru fracțiunile granulometrice peste 64μ și prin sedimentare pentru fracțiunile sub 64μ , găsindu-se valorile ilustrate grafic în fig.10.

Densitatea reală, determinată picnometric conform STAS 125-73 și fost $\rho = 2,58 \text{ g/cm}^3$,

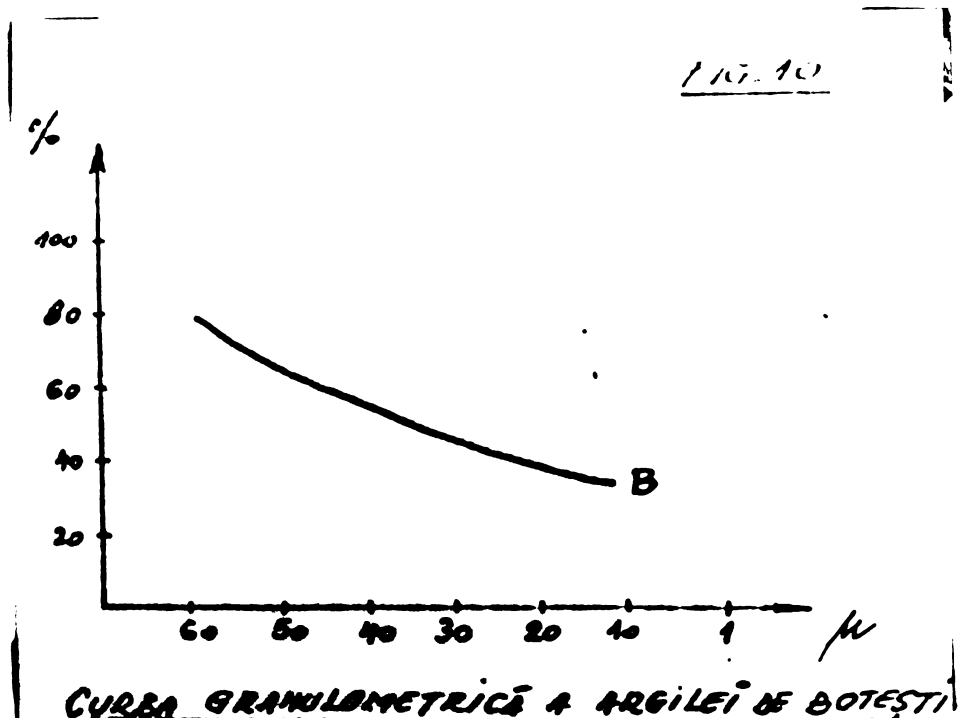


Fig. 10.

III. 1. 3. Compoziția mineralogică a fost determinată prin analiza dilatometrică, analiza termică diferențială, termogravimetrică și difracție cu raze X. Rezultatele sunt prezentate în figurile 11; 12; 13 și 14.

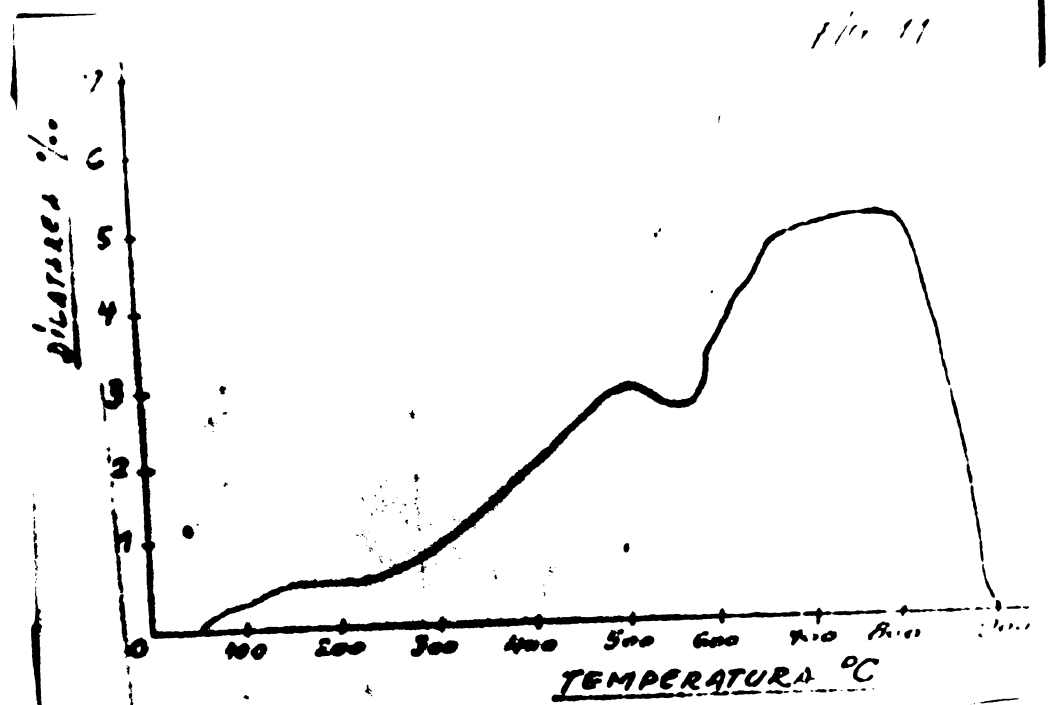


Fig.11.

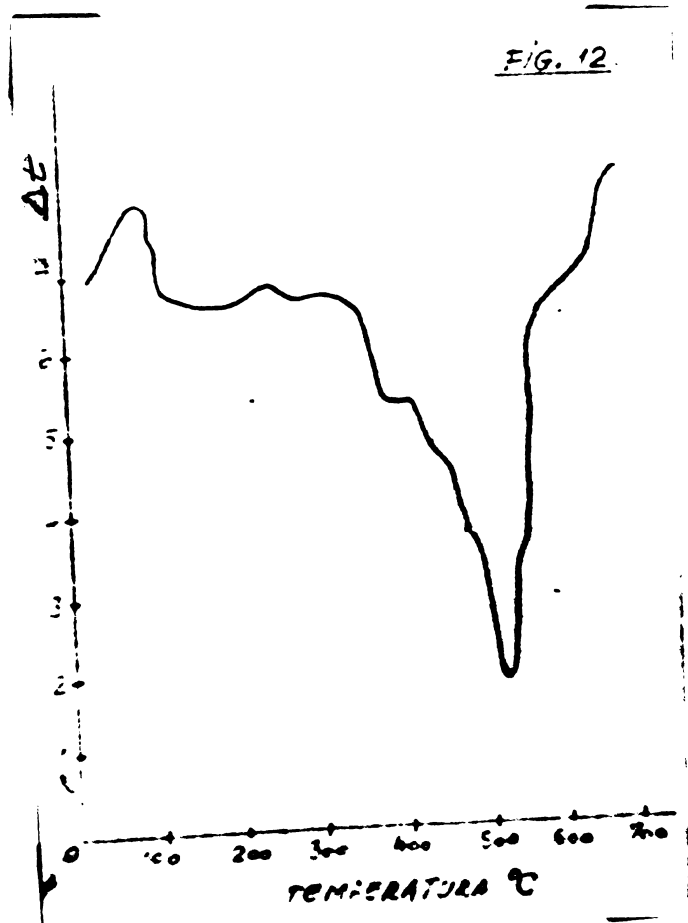


Fig.12.

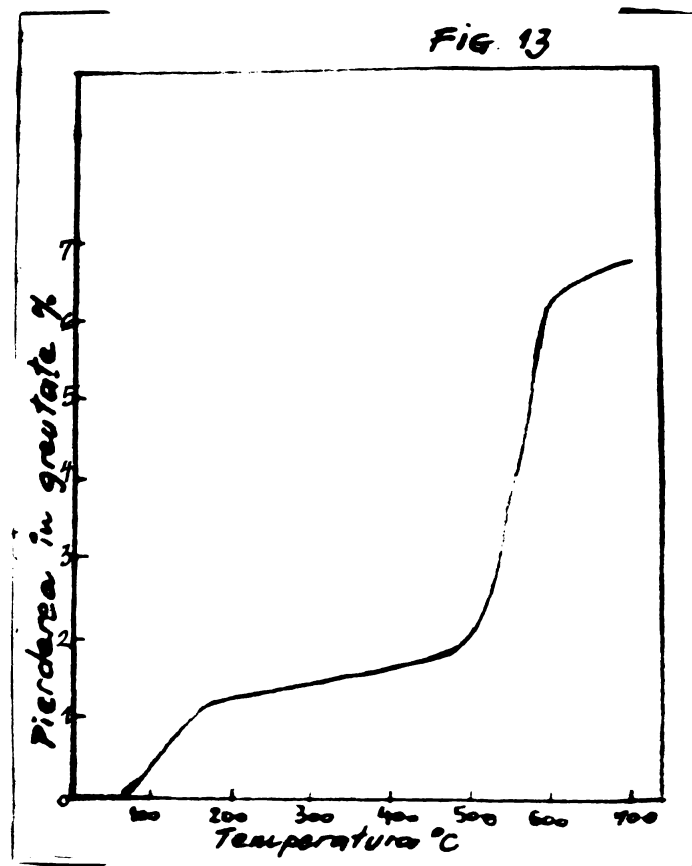


Fig.13. Curva pierderii în greutate.

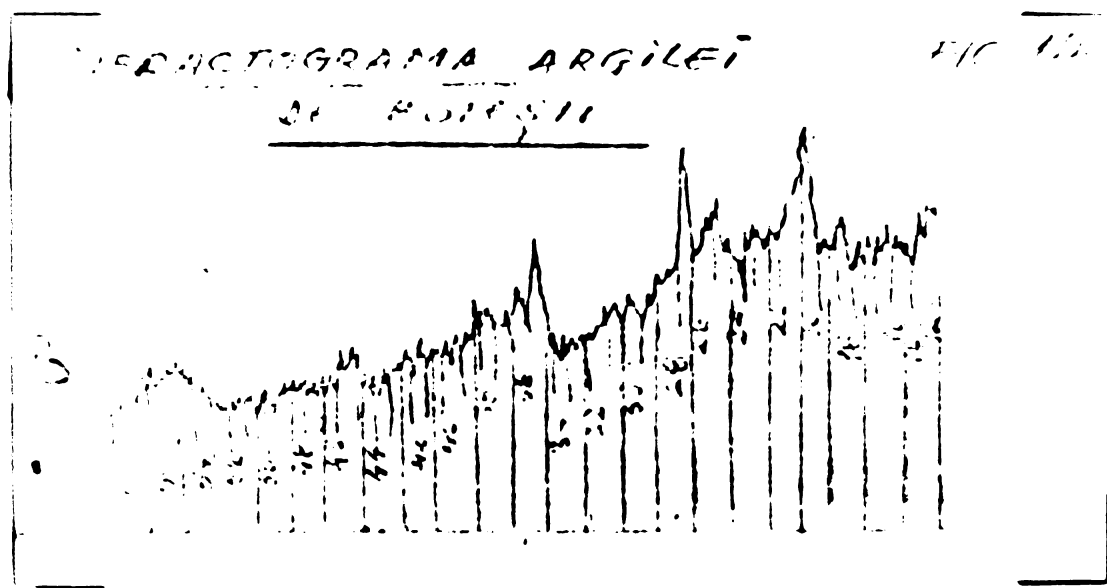


Fig.14.

Analize dilatometrică, termică diferențială și curbe pierderii în greutate arată natura preponderent ilittică a argilei de Botesti.

Carelind difractograma din fig.14 cu celelalte determinări efectuate se poate aprecia compoziția mineralogică și chimică a argilei studiate : ilit 20-25%, montmorilonit 15-20%, caolinit 10%, muscovit și clorit 5-10%, cuart 20-25%, feldspat sub 5% și oxizi de fier circa 5%.

II. 1. 4. Studiul proprietăților lotului experimental de argilă de Botesti, confirmă datele altor cercetări /2.3/ privind buna plasticitate și capacitate liantă a argilei de Botesti, refractoritatea sa bună concomitentă cu o vitrificare remarcabilă în domeniul de temperatură 1000-1300°C, caracteristici care în opinia noastră o fac posibilă ca adăos la sistul de Anina în vederea îmbunătățirii proprietăților de fasonare și a realizării unor rezistențe mecanice satisfăcătoare după ardere.

II. 2. SIST CARBUNOS DE ANINA

In comparație cu argila de Botesti datele existente asupra sistemului său sunt mult mai sumare, ceea ce impune un studiu mai profund.

II. 2. 1. Analiza chimică a sistemului cărbunos de Anina a dus la următoarele rezultate:

1.- Unitățile (de laborator)	= 0,05 %
2.- SiO ₂	= 43,12 %
3.- Al ₂ O ₃ + alți oxizi(Ti, Mn)	= 25,87 %
4.- Fe ₂ O ₃	= 5,24 %
5.- CeO	= 0,17 %
6.- MgO	= 0,26 %

Compoziția granulometrică determină într-o măsură însemnată proprietățile principale ale sistemului.

Au fost determinate conform STAS 229-66 curbele granulometrice pentru sist grosier (I), sist fin căcinet (II) și argilă de Botesti date în tabelul 8 și reprezentate grafic în figura 15.

T A B E L U L 8

Nr. sitei	sist grosier	sist fin	Argilă de Botesti			
	Rest %	Trecere %	Rest %	Trecere %	Rest %	Trecere %
2	1,6	98,4	0,1	99,9	-	-
1,8	0,2	99,2	0,1	99,8	-	-
1,6	1,4	96,8	0,2	99,6	-	-
1,4	1,5	95,3	0,2	99,4	-	-
1	17,0	78,3	0,9	98,5	-	-
0,71	8,1	70,2	4,3	94,2	-	-
0,63	0,2	62,0	16,3	77,9	2,9	97,1
0,50	6,1	55,9	10,4	57,5	10,18	86,92
0,40	4,9	51,4	5,4	62,1	7,7	79,22
0,35	11,5	39,9	14,3	47,8	19,4	59,82
0,20	9,8	30,1	11,4	36,4	18,9	40,92
0,16	3,5	20,6	3,3	33,1	5,3	35,62
0,08	0,7	17,3	10,2	22,9	14,0	21,62

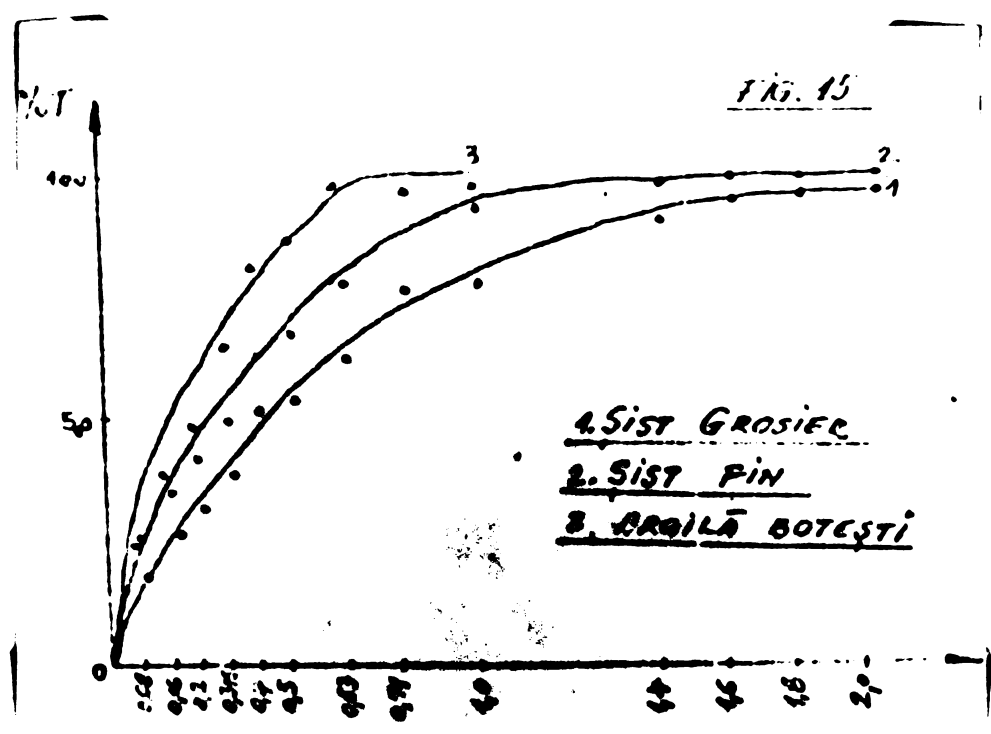


Fig.15.

Datorită faptului că operația de măcinare a șistului este foarte costisitoare s-a renunțat la ideea de folosire în

practică a fracturii fine. Toate determinările asupra proprietăților fizico-ceramice s-au făcut pe cișt grosier.

II. 2. 2. Proprietățile fizico-ceramice ale șistului, determinate conform STAS 229-66 sunt redate în tabelul 9.

T A B E L U L 9

1.- Plasticitatea după Pfafferkorn

23,2

2.- Rezistența în stare uscată

- redusă -

3.- Puterea liantă

- neglijabilă -

	900°C	1000°C	1100°C	1200°C	1300°C
4.- Contractia totală %	1,14	2,28	5,14	7,70	11,70
5.- Greutatea specifică aparentă g/cm³	1,43	1,48	1,61	1,75	2,06
6.- Absorbție în apă %	33,5	30,5	26,5	21	11,9
7.- Porozitatea aparentă %	48,2	46,4	43,0	37,15	-
8.- Deformare sub sarcină mm	5	10	-	14	-
9.- Refractaritate	1690°C				

Densitatea reală a șistului determinată cu metoda pionometrului conform STAS 125-73 a fost de $\rho = 2,18 \text{ g/cm}^3$.

Pierderile la calcinare determinate pentru temperaturile 800°C și 950°C, la o curbă de ardere cu un timp de încălzire 8 ore, pelier 1 oră, răcire naturală 12 ore într-un cuptor electric de laborator cu bare de silică, au fost de :

$$\text{P.C.}(800) = 24,72 \% \text{ fată de substanță uscată.}$$

$$\text{P.C.}(950) = 25,10 \% \text{ fată de substanță uscată.}$$

II. 2. 3. Comportare la ardere

Pentru o mai bună cunoaștere a comportării șistului la încălzire s-a studiat termogravimetrie și prin difracție RX evoluția compoziției fazale a acestuia.

Influența tratamentelor termice asupra compozitiei fazale a sisturilor.

1. Partea experimentală

Determinările experimentale au fost efectuate pe eșantioane reprezentative rezultate de la întreprinderea Minieră Anina.

Ele au reprezentat probe medii de la mai multe galerii și au fost omogenizate suplimentar.

Materialul astfel pregătit a fost supus unor tratamente termice realizate la temperaturi cuprinse între $200\text{--}1300^{\circ}\text{C}$. fără peliere și cu peliere de 15 minute respectiv 3 ore la temperatura maximă.

Probele calcinante au fost studiate termogravimetric și prin analize structurală cu raze X.

Termogramele au fost realizate la un derivatograf tip Paulix iar difractogramele pe un aparat TUR II-61. Pentru confirmarea concluziilor s-au efectuat și determinări de difracție RX, cu cameră de încălzire pe un aparat DRON 2,0.

II. 2. 4. Resultate și discutii

După cum rezultă din studiul difractometric, șistul de Anina prezintă ca faze minerale cristalizate principale : minerale argiloase – în principal caolinit și quart și cături de care coexistă în proporție redusă dolomit și feldspat figura 16.

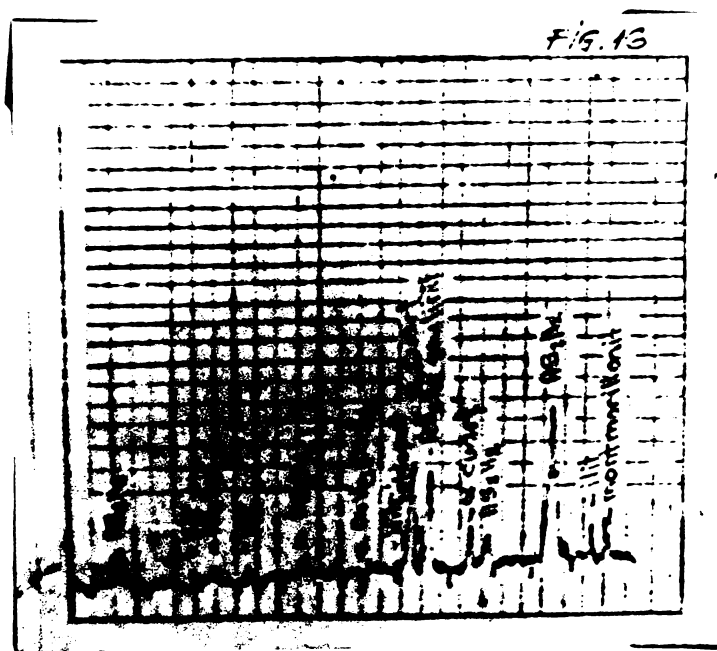
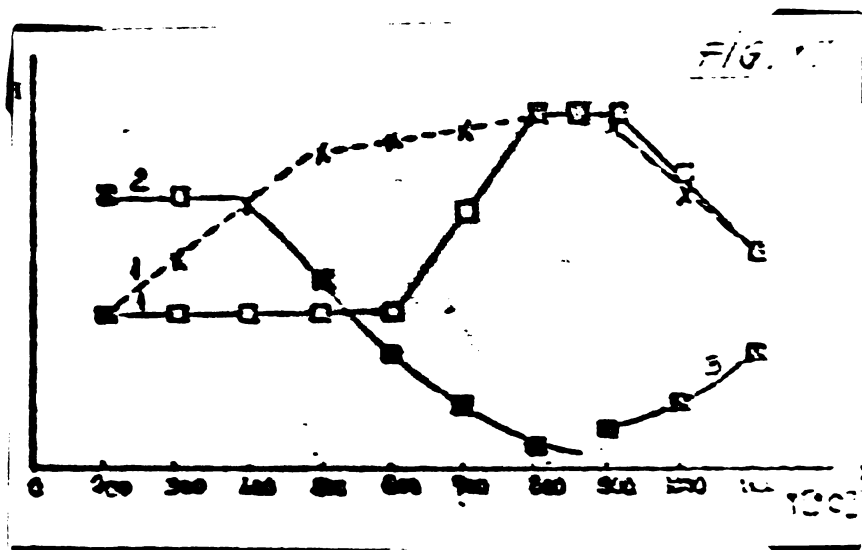


Fig.16. Spectrul de difracție al unei probe de șist de Anina.

Calcinarea probelor determină evident ardarea substanțelor combustibile care este însotită, în funcție de temperatură, de o serie de transformări de faze având la bază: descompuneri termice, reacții de formare a unor compuși, recristalinizări și alte procese cu transfer de masă.

In figura 17 este reprezentată evoluția compoziției fazale a șisturilor arse în funcție de temperatura de calcinare.

Fig.17. Evoluția compoziției fazale a șisturilor arse în funcție de temperatura de calcinare:
1. minerale argiloase; 2. quart; 3. mulit;
□ = fără palier; X = cu palier de 15° la temperatura indicată



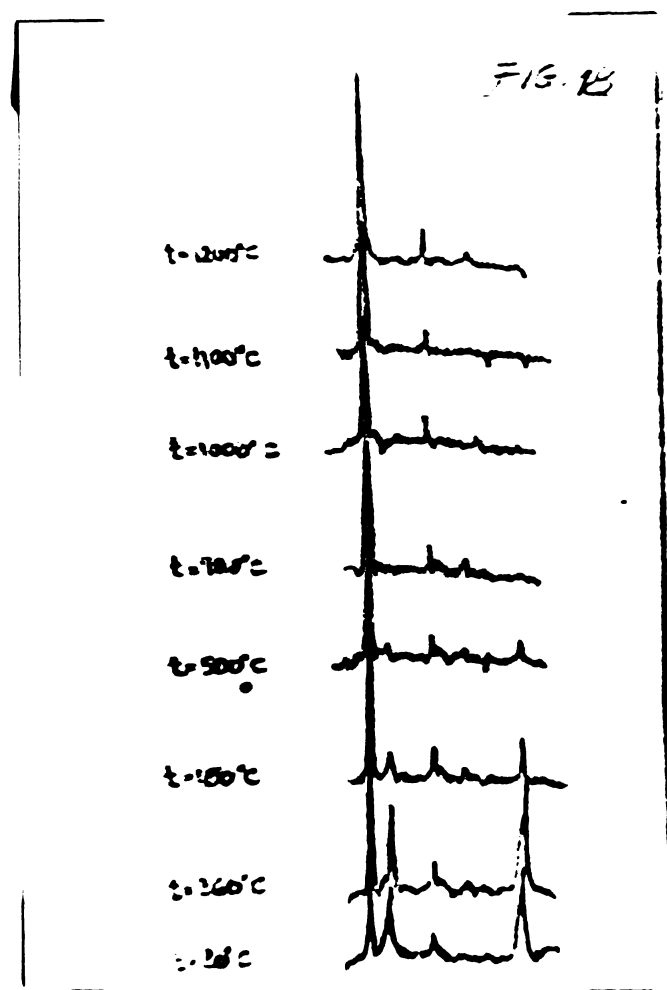
In figura dată, evoluția compoziției de fazi a materialului este ilustrată prin variația intensității maximului de difracție caracteristic al fazelor cristaline principale. După cum rezultă din figură, procesele fundamentale din sistem constau din decompunerea mineralelor argiloase și formarea la temperaturi mai ridicate a mulitului. Din diagramă nu rezultă evoluția fazelor subordonate (feldspat și dolomit) întrucât acestea deja la temperaturi măzinate (400° - 500°C) nu mai apar în röntgenograme decât ca urme.

Variația conținutului de quart se explică prin reacția de decompunere cunoscută a mineralelor argiloase, urmată de o solubilizare parțială, la temperaturi ridicate, în fază lichidă prezentă prin existența conținutului relativ ridicat în Fe_2O_3 .

Urmărirea prin difracție la temperaturi ridicate a transformărilor fazale în șisturile cercetate, pune în evidență o

variație analoagă a principalelor componente cristaline.

Fig.18. Spectre de difracție al unor probe de șist în intervalul de temperaturi de $20-1200^{\circ}\text{C}$.



După cum rezultă din figura 18 singura diferență se observă în variația conținutului de quart, ceea ce este explicabil deoarece se ține seama că în aceste cazuri ridicarea temperaturii este mult mai rapidă și astfel timpul de ședere la temperaturi ridicate mult mai scurt. În aceste condiții este pe deplin posibil ca solubilizarea quartului sau chiar formarea unei faze lichide să nu mai aibă loc.

Studiu termogravimetric al probelor de șist, respectiv al celor precalcinate, permite completearea datelor röntgenogra-

fice cu date referitoare la combustia componentilor organici, care fiind amorfi nu pot fi evidențiați prin analiza difractometrică.

Termogramele obținute asupra unor probe precalcinate la temperaturi cuprinse între $200\text{--}1050^{\circ}\text{C}$ fără palier, respectiv cu un palier de 15 minute la temperatură maximă se pot grupa după alura curbei ATD în trei categorii : a- probe având temperatură de precalcinare pînă la 300°C (figura 19); b- probe cu temperatură de precalcinare de 400°C și 500°C (figura 20); c- probe cu temperatură de precalcinare mai mare de 600°C (figura 21).

Fig.19. Derivatograma unei probe de șist precalcinată la 200°C .

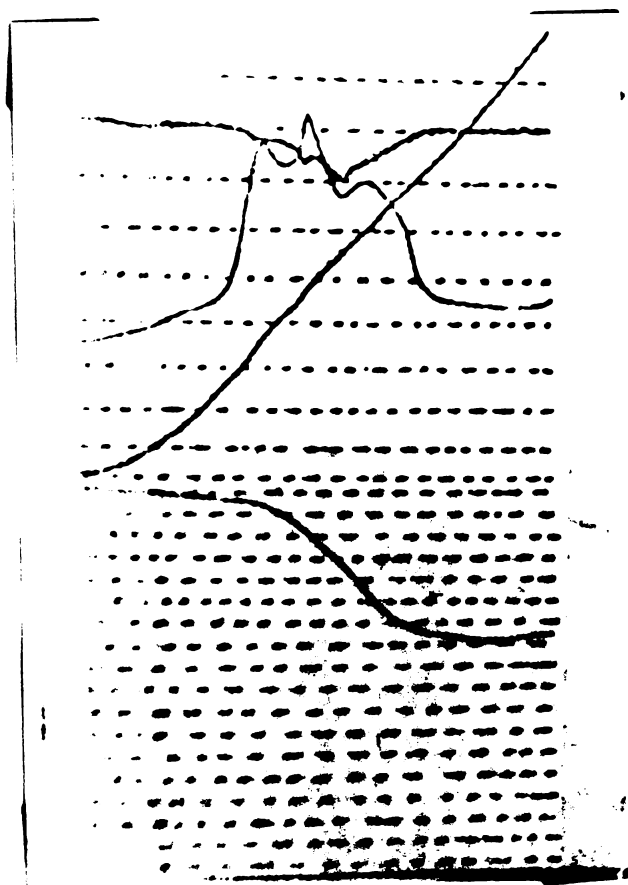


Fig.20. Derivatogramm unei probe de găist
precalcinat la 500°C .

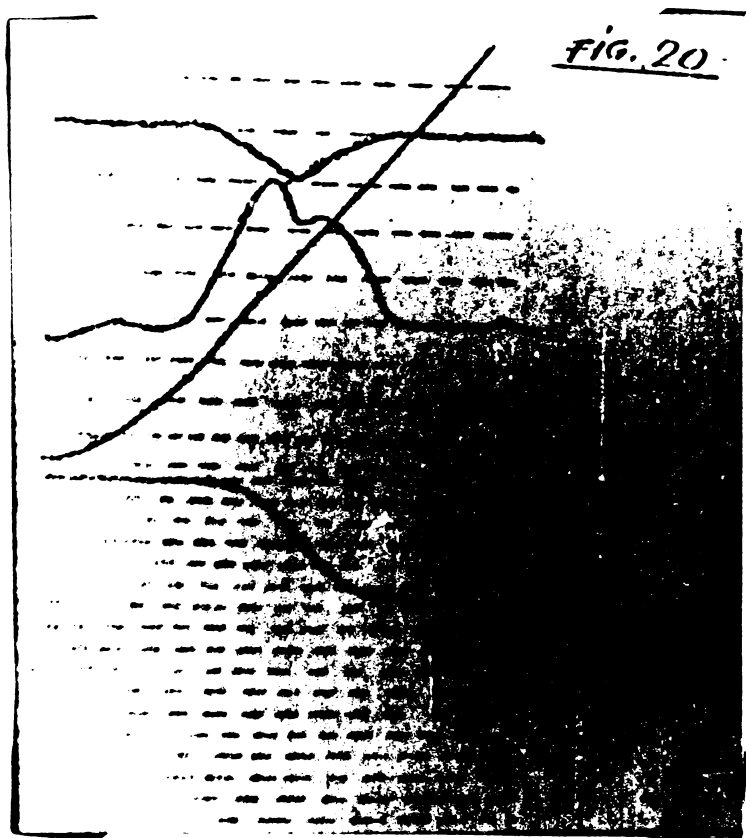


FIG. 20

Fig.21. Derivatogramm unei probe de găist
precalcinat la 900°C

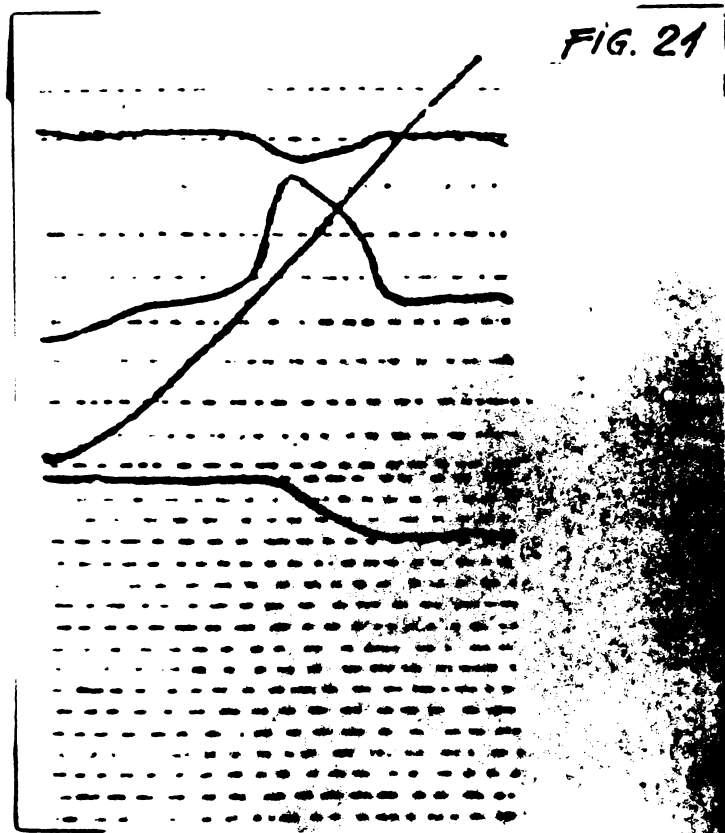


FIG. 21

INSTITUTUL POLITEHNIC
BUCURESTI
COLAJEA CENTRALA

După cum rezultă din termogramale prezentate, curbele TG prezintă discontinuități relativ mici, la temperaturi scăzute ceea ce corespunde eliminării umidității hidroscopice a probelor. Aceste curbe nu permit distingerea procesului de combustie de cel al descompunerii fazelor minerale.

Curba ATD situată în întregime în domeniul exoterm, la probele precalcinate pînă la 300°C prezintă trei maxime distincte (la aproximativ 360°C , 450°C și 600°C) care corespund la arderea succesiivă a compozițiilor combustibili din gîst. Creșterea temperaturii de precalcinare la 400°C , 500°C duce la diminuarea treptată pînă la dispariția primului maxim exoterm pentru ca peste aceste temperaturi și cel de al doilea maxim să prezinte o variație similară. În la 600°C curbe ATD nu prezintă decît un singur maxim cu o poziție variabilă între 540°C și 600°C care diminuează treptat în intensitate, menținându-se însă și la 1050°C . Această evoluție a curbelor arată că primele două maxime se pot atribui compozițiilor distilabili, iar cel din urmă materialului cărbunelor originar sau provenit printr-un proces de semicocșificare.

Pierderea totală de greutate (figura 22) a probelor în timpul analizei termice variază destul de regulat în funcție de temperatură de precalcinare.

Fig.22.

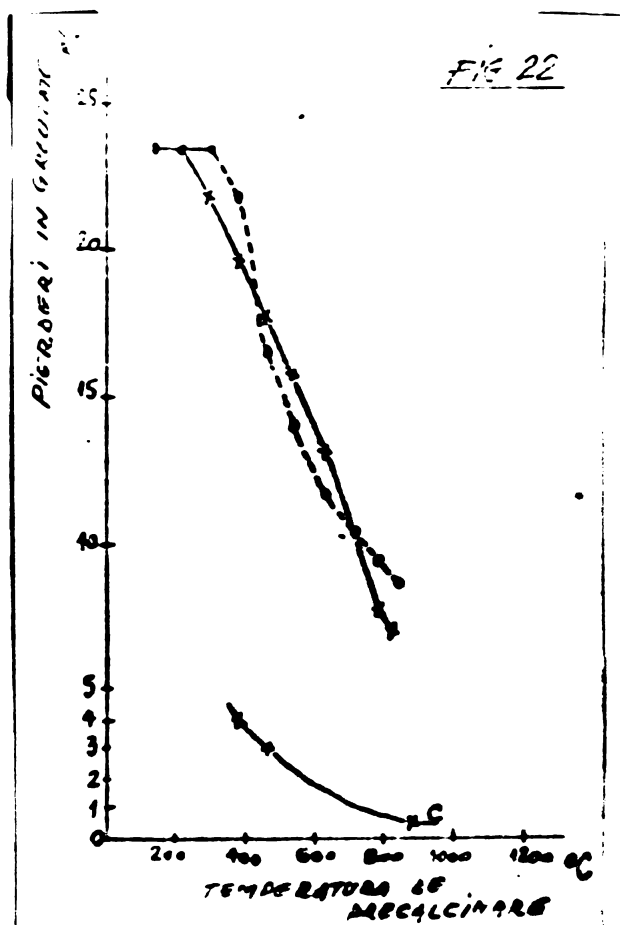


FIG 22

Dependența pierderii totale de greutate a unor probe de sist determinată prin analiza termogravimetrică în funcție de temperatură și durată de precalcinare.

O = fără palier; X = cu palier de 15° la temperatura indicată; C = cu palier de 5 h la temperatura indicată.

Din datele prezентate rezultă că valorificarea integrală a puterii calorifice a șistului necesită temperaturi de ardere ridicate. Scăderea rapidă a efectului exoterm în domeniul temperaturilor ridicate, în cursul analizei termice, arată că în masa materialului au loc procese endotermice, din care doar mulțizarea s-a evidențiat röentgenografic, cu toate că, evident acestora le prelungesc transformările cunoscute (spinelizare) ale mineralelor argiloase.

Prelungirea cu mult a timpului de ardere duce la o epuizare mult mai completă a părții combustibile (figura 22 curba C), astfel la un palier de 5 ore deje la 600°C procentul de substanță organică nearașă este doar de 3%.

II. 2. 5. Concluzii

1.- Studiul röentgenografic și analiza termică a proceselor care su loc la arderea șisturilor combustibile de la Anina a pus în evidență caracterul complex al acestora, ele constând din combustie părții organice, descompunerea termică a unor faze minerale însoțitoare și formarea compușilor caracteristici transformării la temperaturi ridicate a mineralelor argiloase,

2.- Arderea completă a părții combustibile necesită fie temperaturi ridicate, fie o durată mai mare a perioadei de ardere.

3.- Comportarea la ardere a șisturilor combustibile, precum și formarea unor compuși valoroși din punct de vedere ai rezistențelor mecanice (mulit) indică ca o cale pourrivită de valorificare a acestora, obținerea unor materiale refractare de tipul cărămisiilor ușoare.

Valorile reduse ale plasticității, rezistenței în stare uscată și ale puterii liante confirmă aprecierea preliminară ca luit singur, șistul nu poate prezenta proprietăți satisfăcătoare de fasonare, deficit cu eventuala utilizare a unor agenți auxiliari de fasonare organici care ar ridica cheltuielile necesare și ar complica procesul tehnologic de obținere al unor produse termoisolatoare.

Evoluția cu temperatură a porozității sparcante (după ardere la 1200°C epruvetele prezintă încă o porozitate sparcantă de peste 37 %) arată că partea minerală a șistului este refracțiară și apotul său în obținerea rezistențelor mecanice după ardere pe baza vitrificării proprii va fi probabil redus. De altfel, determinarea refractarității ($\text{I.} = 1690^{\circ}\text{C}$) indică o valoare de ordinul de mărime al refractarelor de șamotă obișnuite, confirmând această spreciere.

S-a considerat de aceea, ca drept auxiliar de fasonare ar putea fi folosită argila de Rotești (o argilă cunoscută ca o argilă plastică, cu o bună capacitate liantă /2.3/ și care are avantajul de a fi în același timp și refracțiară și cu un bun grad de vitrificare la temperaturi de ardere relativ joase, /2.3/ putind servi drept fază liantă în urma procesului de ardere.

Comportarea complexă și eliminarea relativ dificilă a părtii combustibile la ardere, permit sprecierea că nu se pot trage concluzii definitive privind acest aspect decât pe epruvete realizate din mase experimentale în condiții apropiate de cele de fabricație.

III. STUDII SI INCERCARI ASUPRA MASELOR REFRACTARE OBTINUTE DIN SIST DE ANIMA SI ARGILA DE BOTESTI

III. 1. CAMPATARE LA FASONARE

In vederea studiului comportării la fasonare s-a pornit de la premisa că pentru imbunătățirea comportării la fasonare a sistemului se va utiliza un ados de argilă de Botestî. Acest ados trebuie să fie suficient pentru a asigura masai bune proprietăți de fasonare și rezistențe suficiente după ardare, nefiind însă de dorit o proporție mare a argilei de Botestî, care prin vitrificarea sa relativ ușoară ar putea sări mult compactateas produselor microfînd astfel proprietățile lor termoisolante.

In aceste condiții ca procedeu de fasonare se poate lua în considerare doar presarea semi-ușcată, fasonarea plastică implicând un conținut ridicat de argilă de Botestî, un necesar de apă de fasonare ridicat ceea ce în ciuda productivității ar aduce dezavantaje serioase privind uscarea (consum de energie mărit, sensibilitate la uscare) cît și o lipseă de precizie a formei și dimensiunilor.

In acest scop s-a urmărit influența conținutului de umiditate și a proporției de ados de argilă de Botestî asupra densităților sparente și porozităților sparente ale probelor presate semiușcate. Tinind seama de experiența și dotarea ușoră a fabricilor de profil, ca și ce faptul că nu se impune realizarea de produse compacte, presiunea de presare a fost menținută constantă la o valoare de 200 daN/cm^2 .

S-a realizat un număr de șapte mase experimentale cu un conținut de 10, 20, 25, 30, 40, 45 și 50% greutate argilă de Botestî și respectiv de 90, 80, 75, 70, 60, 55, și 50 % sist de Anima avind compozițiile granulometrice presentate anterior. Dozarea maselor s-a făcut gravimetric, prin cîntărire cu o precizie de $\pm 0,05 \text{ g}$. Pentru fiecare compoziție s-a realizat masa de presare cu umidități de 4, 6, 8, 10 și 12%, omogenizarea probelor realizându-se prin mojarare timp de 20 minute și trecerea printr-o sită cu dimensiunea ochiurilor de 0,8 mm.

Presarea epruvetelor a fost făcută într-o metrită cilindrică de otel, cu o presă hidraulică de laborator la o presiune de 200 daN/cm^2 . Epruvetele au avut $\phi = 35 \text{ mm}$ și $h = 35 \text{ mm}$. Pentru fiecare din masele și umiditățile prevăzute s-a realizat cîte 2

epruvete pentru cazurile în care valorile determinate su prezentat diferență $\pm 0,05 \text{ g/cm}^3$ la densitatea aparentă sau peste 1% la porozităs aparentă s-eu repetat probele perechi pînă la obținerea unei bune concordanțe. Rezultatele prezentate sunt mediile celor două epruvete. Probele presate su fost uscate într-o etuvă de laborator la 110°C iar densitatea lor aparentă în stare uscată a fost determinata prin masurare și cintărire cu o precizie de $\pm 0,01 \text{ g}$.

III. 1. 1. Porozitatea aparentă a probei în stare uscată a fost determinată prin calcul - determinarea prin absorbția de apă fiind excesivă datorită conținutului de argilă, iar absorbția unui solvent organic (toluen, xilen, etc.) putind da complicații prin dizolvarea unor componente din partea bituminoasă a sistului. Principiul calculului a fost urmatorul :

Cunoscind densitățile reale (picnometric) ale argilei și ale sistului.

$$\begin{cases} \rho_{\text{argila}} = 2,58 \text{ g/cm}^3 \\ \rho_{\text{sist}} = 2,18 \text{ g/cm}^3 \end{cases}$$

densitatea reală a unui amestec de 100 g. de argilă cu sist va fi pentru o compactitate de 100%.

$$\rho_r = \frac{100}{\frac{\% \text{argila}}{2,58} + \frac{\% \text{sist}}{2,18}}$$

iar porozitatea totală a epruvetei uscate de densitate aparentă ρ_{ap} este egală cu porozitatea sa aparentă și are valoarea :

$$P_t = P_a = \frac{\rho_r - \rho_a}{\rho_r} \cdot 100 \%$$

Astfel, densitățile reale (teoretice) pentru o compactitate de 100% sunt pentru masele experimentale:

T A B E L U L 10

Nr	% sist	% argilă	Densitatea reală (teoretic) la compac-
	Arina	Notesci	tatea de 100% g/cm ³
1	90	10	2,21
2	80	20	2,25
3	75	25	2,27
4	70	30	2,29
5	60	40	2,32
6	55	45	2,34
7	50	50	2,36

Dependența densităților aparente ale epruvetelor uscate, după presare, de umiditatea maselor de presare este prezentată în figura 23. În figura 24 este prezentată porozitatea aparentă a probelor uscate în funcție de umiditatea la presare, iar în figura 25 este prezentată dependența porozității aparente în stare uscată de conținutul de argilă de Boteni și maselor, pentru diferitele umidăți ale maselor de presare.

Figura 23

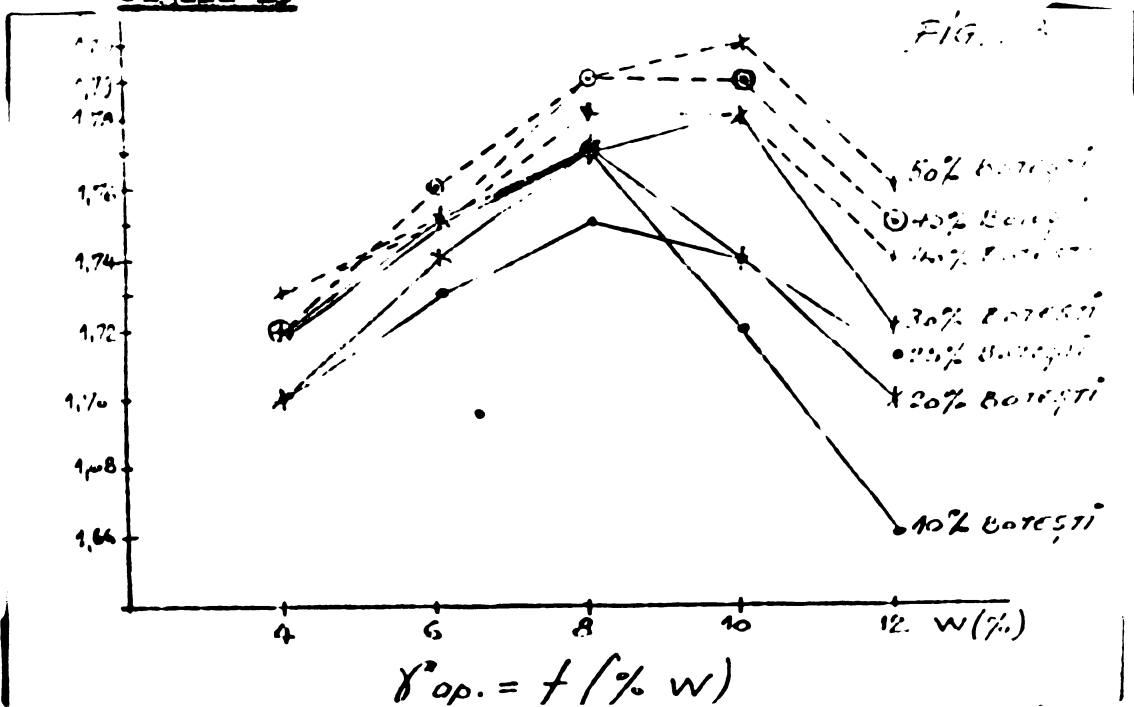


Fig. 23

Figura 24

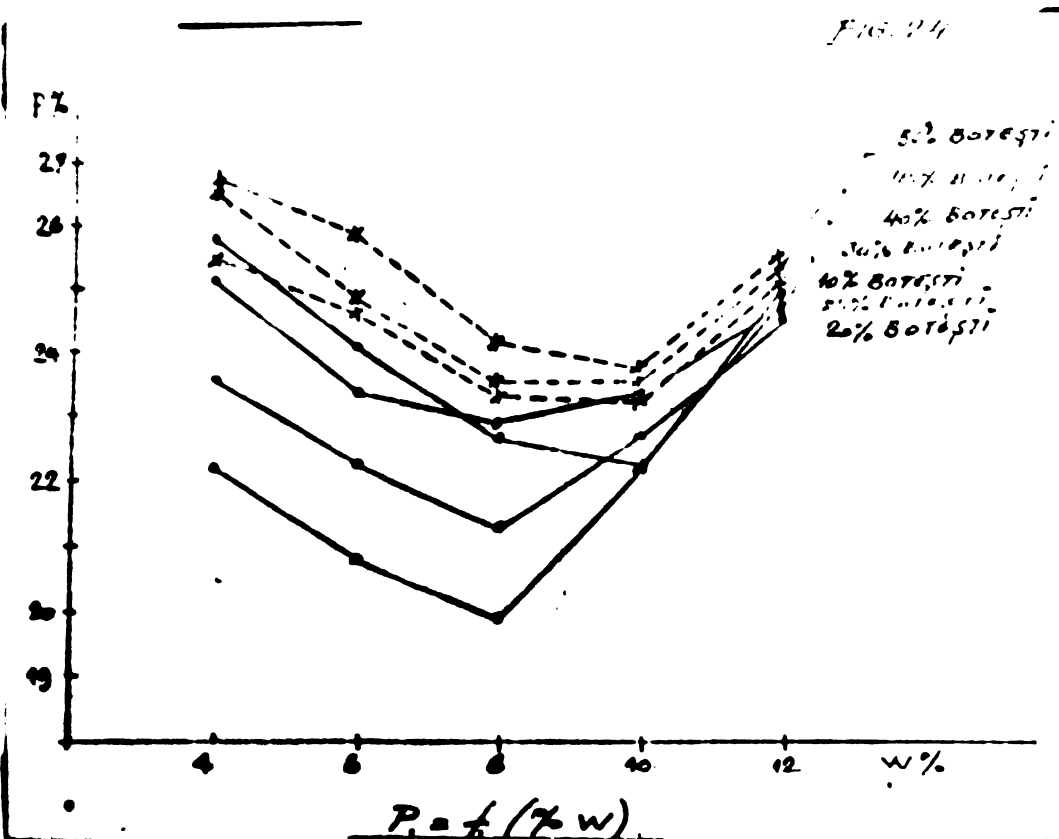
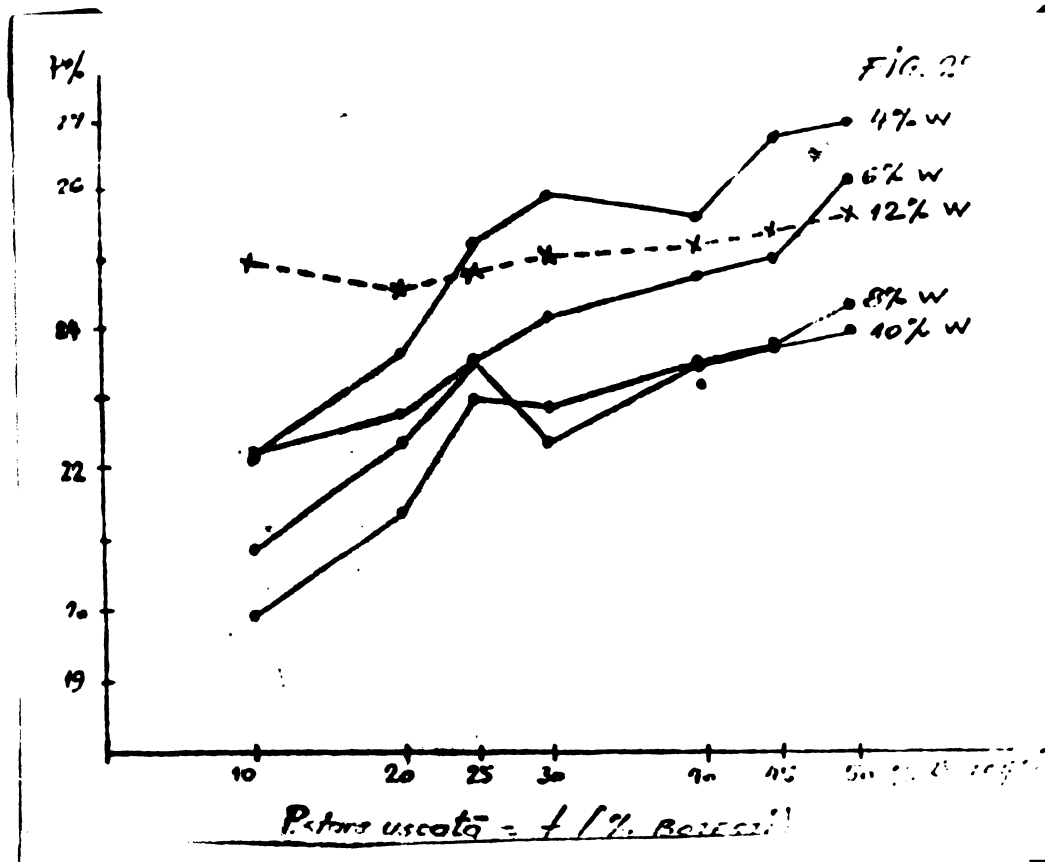


Fig. 24

FIGURA 25



Variatia densitatilor in stare uscată în funcție de umiditatea de presare (fig.23) prezintă în general valori maxime în domeniul umidității de 8-10% - ceea ce indică o compactizare mai bună în acest domeniu. Pentru același conținut de umiditate de presare densitățile aparente în stare uscată prezintă valori în general crescînd cu conținutul de argilă de Boteni.

Nu se poate însă trage concluzia absolută că creșterea densitatilor aparente în funcție de conținutul de argilă de Boteni indică o compactitate mai ridicată a probelor, deoarece densitatea reală a argilei este sensibil mai ridicată decât a șistului ($\gamma_{arg.} = 2,78 \text{ g/cm}^3$, $\gamma_{sist} = 2,18 \text{ g/cm}^3$) și creșterea densității reale datorită schimbării de compozitie poate scăperi variațiile de densitate aparentă datorită compactizării diferite.

Datele privind variația porozității aparente în funcție de umiditatea de presare (fig.24) sunt mai concluzante deoarece porozitatea aparentă fiind exprimată în % volum, este independentă de densitatea materialului. După cum rezultă din datele reprezentate, porozitatea aparentă prezintă un minim în domeniul 8-10% umiditate, indicând decuzașenii o compactizare mai bună la aceste umidități.

Se vede însă că creșterea conținutului de argilă de Boteni duse în general la o mărire a porosității aparente a probelor uscate ceea ce se poate atribui faptului că un conținut sporit de argilă de Boteni prin finitez și plasticitatea sa ridicată ar necesita un plus de spălare de fasonare. Pentru un conținut constant de spălare de fasonare mărirea conținutului de argilă de Boteni duce la o scădere relativă a capacitatii de fasonare de aici la creșterea porosității mai ales la umidități scăzute.

Dependenta porosităților aparente în stare uscată de conținutul de argilă de Boteni al maselor, pentru diverse umidități de presare (fig.25.) ilustrează mai clar acest aspect. La umidități de presare scăzute, porositatea aparentă crește cu conținutul de argilă de Boteni care provoacă o „insuficientă” a spălării de fasonare - (umiditățile de 4, 6 și chiar 8%). La umidități mai ridicate ($W = 10$ și 12%) acest efect se manifestă mult mai puțin - porositățile obținute la diferite adasuri de argilă de Boteni fiind aproape constante (variațiile fiind în general sub 1%), adică în limita abaterilor experimentale.

Tinând seama de faptul că în general la toate masale s-a văzut o compactisare mai intensă în domeniu de umiditate 8-10% și prezent în condiții identice ($P = 200 \text{ daN/cm}^2$, umiditate = 8%) din unele mase experimentale cu $\delta = 35 \text{ mm}$, $h = 35 \text{ mm}$, pe care după uscare la 110°C pînă la greutatea constantă, s-a incercat rezistența la compresiune în stare uscată. S-a folosit o presă de incercări tip „TABA” de 2500 kgf, adaptată pentru incercări la compresiune. Resultatele sunt prezentate în tabelul II, valorile fiind media a cîte 5 determinări.

T A B L U L I I

Runda	%argilă Boteni	% șist Anina	T compresiune în stare uscată kg/cm ²
1	10	90	55,20
2	20	80	52,50
3	30	70	50,88
4	40	60	39,64
5	50	50	40,86

După cum rezultă din datele prezentate în tabelul II rezistențele sunt mai mari la conținutul mai ridicat de șist, la aceasta fiind posibilă o contribuție a componentei bituminoase din șist după încălzirea la 110°C . Rezistențele obținute sunt ca

total suficiente pentru manipulările uzuale unei produse ușoare pentru toate masele.

Având în vedere că scăderea mai pronunțată a rezistențelor se manifestă la peste 30% argilă Botesti, se apreciază că din punct de vedere al fasonării, un conținut de 30% argilă de Botesti o umiditate de presare de $w = 8-10\%$ și o presiune de presare de $p = 200 \text{ daN/cm}^2$ reprezintă condițiile unei bună compromis între o fasonare bună, rezistențe suficiente și o compactitate nu prea mare, dat fiind faptul că în final se urmărește obținerea unei produse porecate cu proprietăți termoisolante.

III. 2. COMPORTAREA LA ARDERE A MASELOR EXPERIMENTALE

III. 2. 1. Arderea componentelor combustibile din sistem de Agina

După cum au arătat experimentările făcute în cadrul studiului influenței tratamentelor termice asupra compozitiei fasale și sistemelor, arderea componentelor combustibile decurge relativ greu – necesitând temperaturi ridicate și menținerea unor palieri de temperatură constantă chiar în cazul sistemului era în formă granulară.

Timind seama că într-un produs obținut dintr-una din masele experimentale arderea componentelor combustibile ale sistemului va decurge în condiții diferite (produs compactizat prin presare, masă compusă din sist și argilă de Botesti) s-a apreciat că prezintă interes urmărirea eliminării părții combustibile din epruvetele preseate din masele experimentale.

În acest scop, din toate masele experimentale, s-au confectionat prin presare semișecă, la o umiditate de 8% și o presiune de presare de 200 daN/cm^2 , epruvete cilindrice cu $\phi h = 35 \text{ mm}$, care au fost urmărite într-o etuvă termoreglabilă de laborator la 110°C pînă la greutățile aproximativ constante, după care au fost cintărite cu o precizie de $\pm 0,01 \text{ g}$. În o balanță tehnică.

Arderea probelor s-a făcut într-un cuptor electric de laborator, cu bare de silică, după următoarea curăță de ardere:

- încălzire pînă la temperatură maximă	8 ore
- palier	1 ore
- răcire (naturală)	12 ore

S-au efectuat arduri la temperatură maximă de 800°C și la temperatură maximă de 950°C .

După răcire epruvetele au fost din nou cintărite cu o precizie de $\pm 0,01 \text{ g}$. În balanță tehnică. Din greutățile înainte

și după ardare s-ă calculează pierderile la calcinare, conform :

$$P.C. = \frac{G_1 - G_2}{G_1} \cdot 100\%$$

în care : P.C. = pierdere la calcinare în %

G_1 = greutatea epruvetei uscate

G_2 = greutatea epruvetei arse

FIGURA 25.

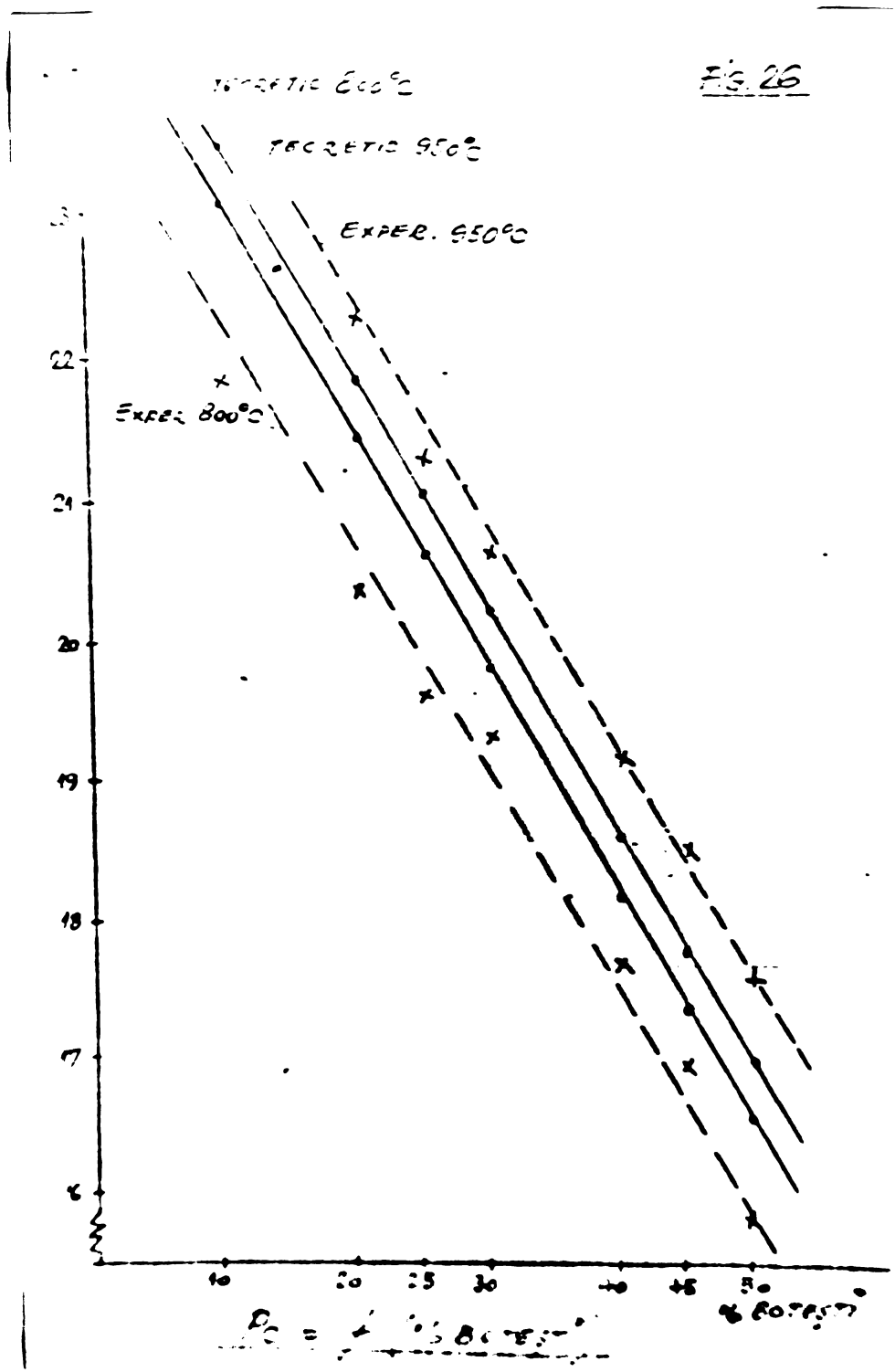


FIG. 25

In fig.26 sunt reprezentate pierderile la calcinare ale maselor experimentale in functie de continutul de argila de Botesti, la temperaturile de ardere de 800°C si 950°C dupa curba de ardere mentionata. Pentru comparatie pe figură sunt reprezentate pierderile la calcinare teoretice la temperaturile mentionate, calculele din pierderile la calcinare determinate pentru sistul de Anina si pentru argila de Botesti, conform:

$$P.C._{800} = P.C.(argilă)_{800} + \% \text{ argilă} + P.C.(sist)_{800} + \% \text{ sist}$$

$$P.C._{950} = P.C.(argilă)_{950} + \% \text{ argilă} + P.C.(sist)_{950} + \% \text{ sist}$$

Dupa cum reiese din datele presentate, pierderile la calcinare determinate experimental variază aproape linear in functie de continutul de argila respectiv sist, conform asteptărilor. Se observă însă că valorile pierderilor la calcinare pentru temperatura de 800°C sunt toate mai mici decât valorile teoretice pentru arderea completă, ceea ce indică după sprecierea noastră la curba de ardere folosită, pînă la temperatura de 800°C , că arderea componentelor combustibile nu este completă. Valorile pierderilor la calcinare pentru temperatură de 950°C sunt toate mai mari decât valorile calculate ceea ce indică după sprecierea noastră că arderea componentelor combustibile este completă la această temperatură, valorile constant mari găsite, experimental datorindu-se unei anumite hidroscopicități a probelor uscate.

Pentru a urmări influența dimensiunii epruvetelor, s-a ars pînă la 950°C , după același curbă de ardere, epruvete cilindrice cu $h \beta = 50$ mm preseate din masăle experimentale după metodele descrise anterior. După ardere, greutățile indică o ardere incompletă a părții combustibile, confirmată prin existența unui miez de culoare închisă vizibilă la secțiunarea epruvetelor.

Modificarea regimului de ardere la un timp de incalzire 12 ore, palier 2 ore la 950°C și răcire (naturală) 12 ore a permis arderea completă a părții combustibile.

Aceasta arată, pe deosebit că produse cu grosimi de 5-6 cm, pot fi arse după o acmea curbă de ardere, realizată curent în cupoarele industriale cameră și tunel din industria ceramicii de construcții, iar pe de altă parte că la realizarea unor produse cu dimensiuni mari este necesară testarea practicabilă a regimului de ardere minim necesar pentru eliminarea completă a părții combustibile.

III. 2. 2. Comportarea la ardere a maselor

Din punctul de vedere urmărit: realizarea unor produse

refractare ușoare cu proprietăți termoisolante, ar fi de dorit ca arderea să ducă la obținerea unei porozități cît mai mari și în același timp, la obținerea unor rezistențe mecanice bune. Soluția finală nu poate fi decât un compromis pentru cazul maselor experimentale studiate, deoarece evident porozitatea ridicată și rezistențele mecanice ridicate sunt proprietăți antagoniste determinând de gradul de vitrificare (compactizare) realizat prin ardere. Pornind de la porozitatea aparentă a probelor uscate, porozitatea va crește pînă la o anumită temperatură ca urmare a eliminării apelor de constitutie a argilei de Botesti și a arderei componentelor combustibile din șistul de Anina. Această temperatură poate fi aproximativ la cc. 950°C cînd pierderile la calcinare își ating maximul și cînd, după cum s-a arătat anterior, argila de Botesti nu prezintă o vitrificare semnificativă. Pe de altă parte, vitrificarea argilei de Botesti devine însemnată (chiar dacă nu completă) de la temperatură de 1100°C aceasta reprezentând temperatura la care argila poate aduce un sprijin însemnat de rezistență, fiind deosebită și temperatura maximă de utilizare prevăzută pentru produsele refractare termoisolante silicealuminicoase conform STAS 3512-79.

S-a considerat util, pe baza acestor considerații să se determine indicii de compactitate și epruvetele din masele experimentale realizate prin presare semisecă, cu umiditate de 8%, la presiune de presare de 200 daN/cm², după ordinea epruvetelor la temperaturile de 950°C și 1100°C . Regimul de ardere a fost :

- incălzire pînă la temperatură maximă 12 ore
- palier 2 ore
- răcire (naturală) 12 ore

Absorbția de apă a probelor a fost determinată prin fierbere, densitatea aparentă prin cintărire hidrostatică în apă, conform STAS 125-73, porozitatea aparentă a probelor fiind calculată conform :

$$P_{\text{ap}} \% = \alpha \% \cdot f_{\text{ap}}$$

în care :

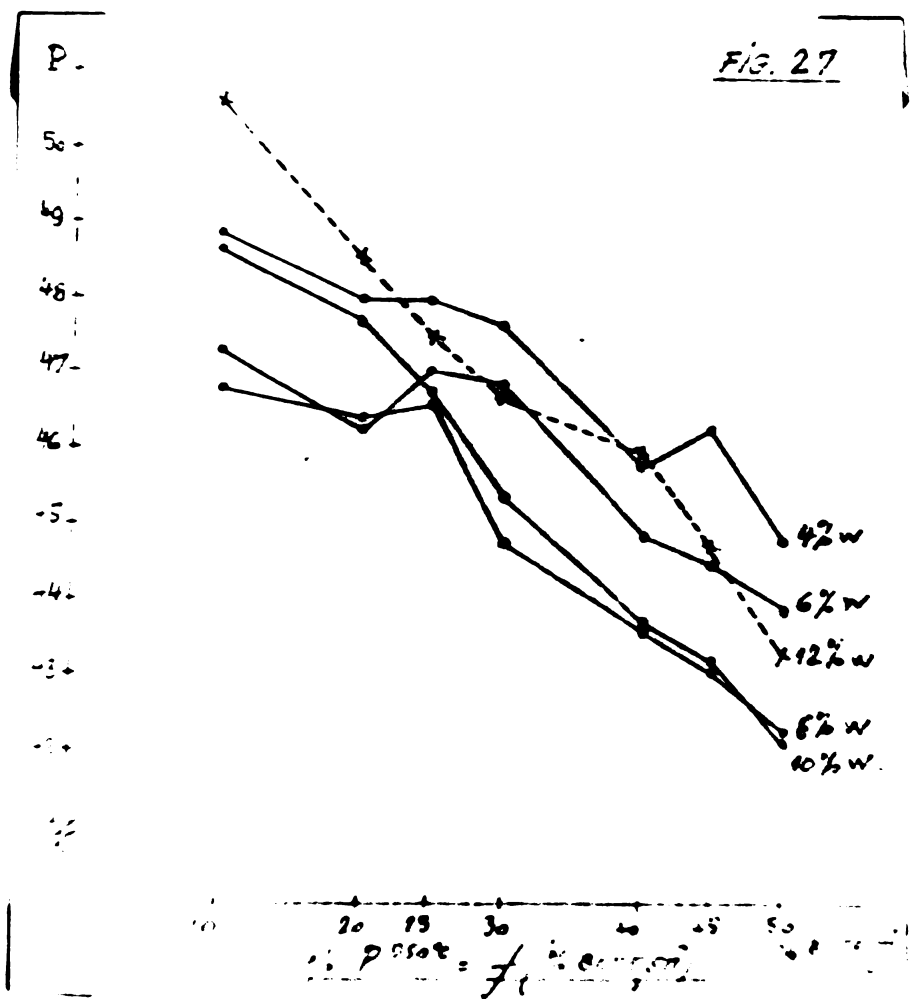
P_{ap} = porozitatea aparentă

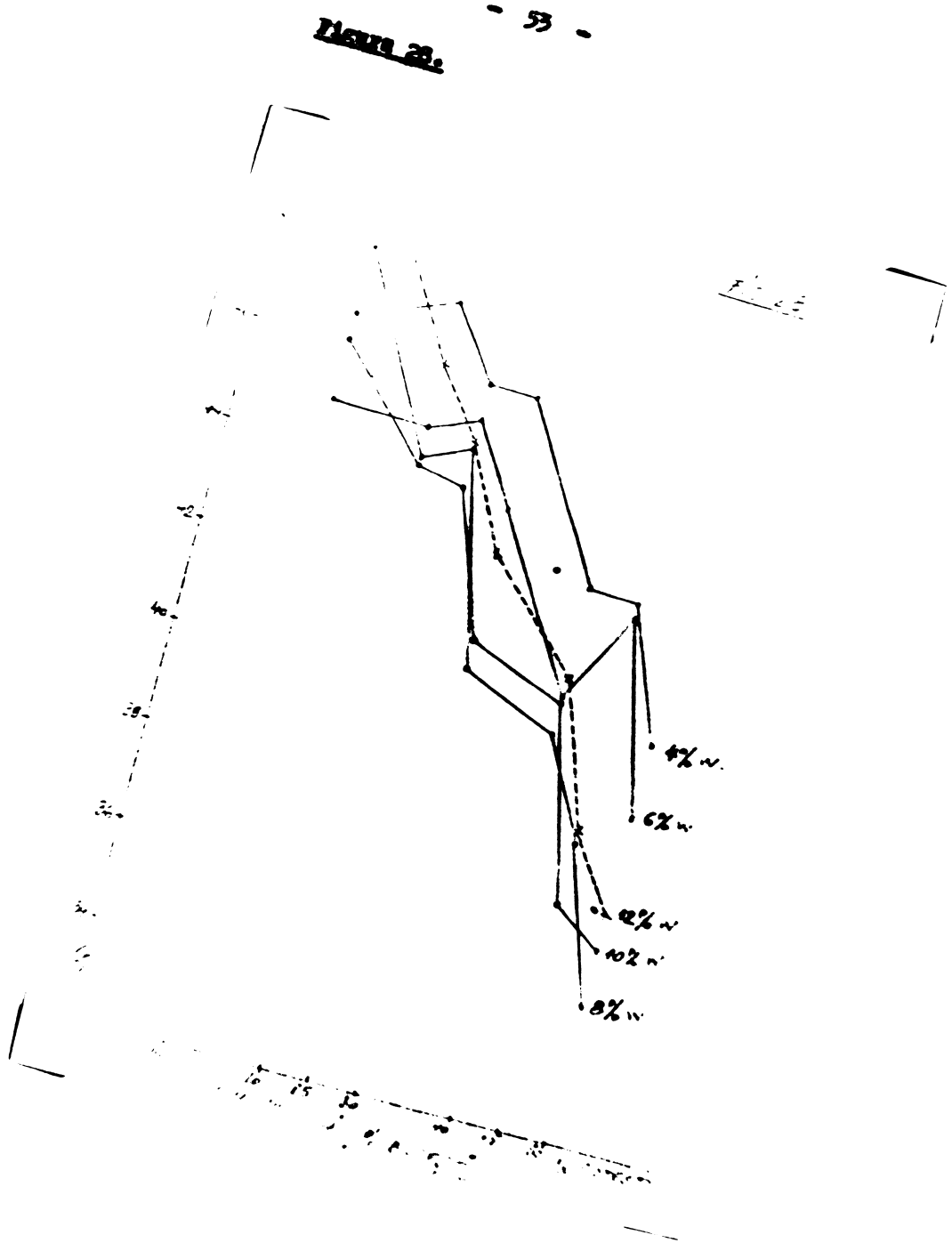
$\alpha \%$ = absorbția de apă

f_{ap} = densitatea aparentă

În figure 27 sunt prezentate porozitățile aparente ale epruvetelor în funcție de conținutul de argilă de Botesti al maselor experimentale arse la 950°C , iar în figura 28 porozitățile aparente ale epruvetelor arse la 1100°C , în funcție de conținutul de argilă de Botesti al maselor experimentale.

FIGURE 27.



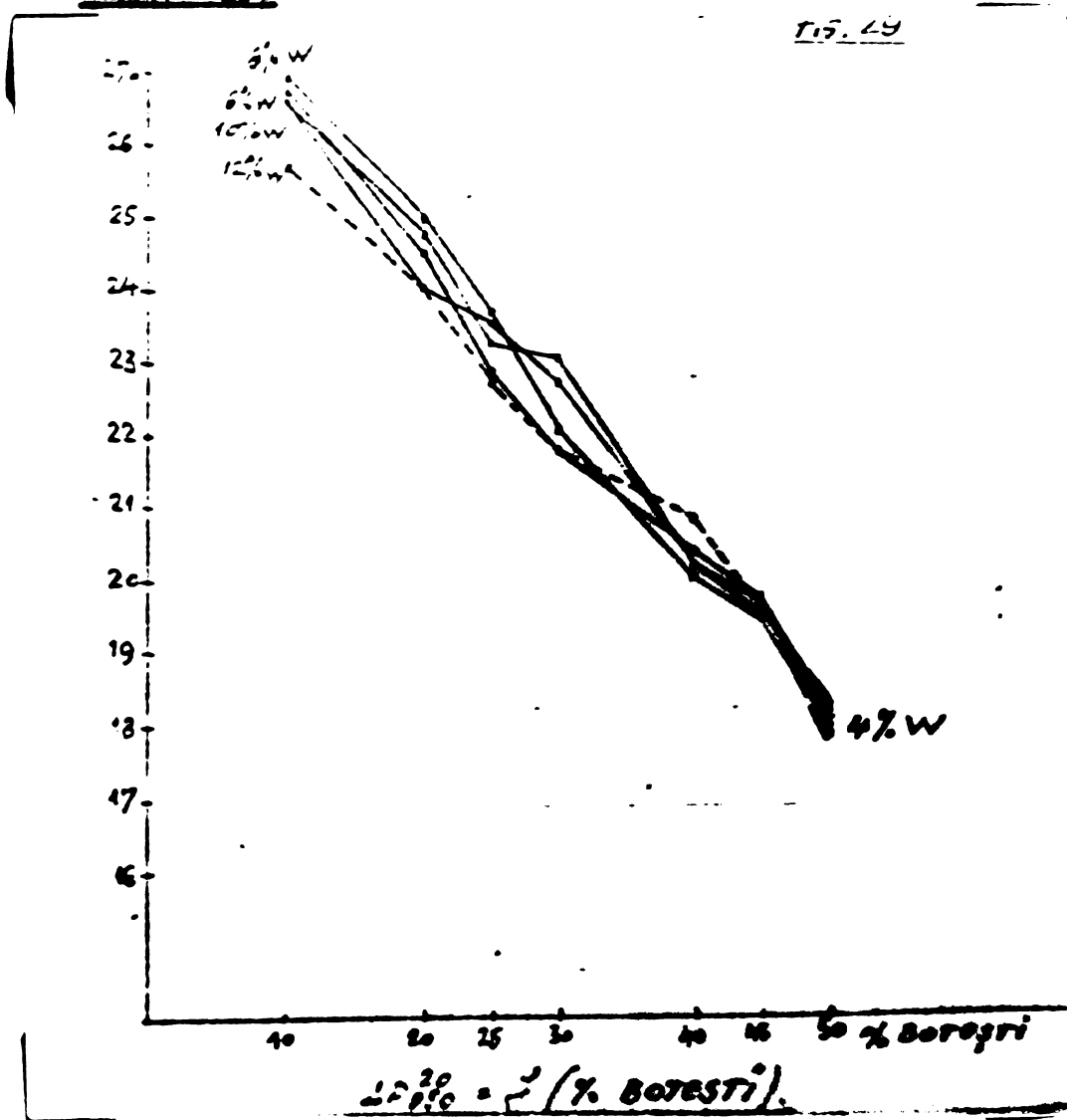


După cum rezultă din datele prezentate în figura 27 porozitatea spărată scade cu creșterea conținutului de argilă Botestii al maselor pentru toate umiditățile de fasonare, ceea ce deasemenea pledează pentru menținerea proporției de argilă Botestii la cantitatea minimă necesară pentru o bună comportare la fasonare și obținerea unor rezistențe suficiente. O comportare asemănătoare, dar la valori absolute mai mici ale porozităților spărate, se constată și la epruvetele arse la 1100°C (fig. 28). Se observă în plus că scăderea porozității spărate cu creșterea conținutului de argilă Botestii este mai rapidă ceea ce este explicabil având în vedere că la 1100°C argila de Botestii se vitrifică într-un grad avansat.

In fig.29 sunt prezentate creșterile porozității spărate de la acea în stare uscată la acea a epruvetelor arse la 950°C ($P_{20}^{950} = P_{950} - P_{20}^{950}$) în funcție de conținutul de argilă de Botestii al maselor experimentale și de umiditatea de presare).

Figura 29.

Fig. 29



Conform datelor prezentate în diagramă se vede că practic, creșterea de porositate obținută prin arderea la 950°C este independentă de apa de fasonare și scade cu creșterea conținutului argilei

- 55 -
de Botestii, confirmind mai clar datele presentate in fig.27 si
concluziile trase pe baza acestora.

Afint in vedere ca arderea la 1100°C pentru a vitrifica
argila de Botestii si a mări rezistențele mecanice va duce la scădere
a porozităilor aparente față de cele obținute prin arderea la
 950°C in fig.30 s-a reprezentat scăderea porozităilor aparente ale
maselor experimentale de la temperatura de ardere de 950°C la aceea
de 1100°C ($P_{1100}^{950} = P_{950} - P_{1100}$ %) in funcție de conținutul de ar-
gilă de Botestii al maselor. Se observă că scăderea porozităilor
aparente de la temperatura de ardere de 950°C la aceea de 1100°C
este cu atit mai accentuată cu cit proporția de argilă de Botestii a
masei este mai ridicată ceea ce este normal ținind seama de faptul
ca argila de Botestii este componenta vitrificabilă la această tem-
peratură.

Figura 30.

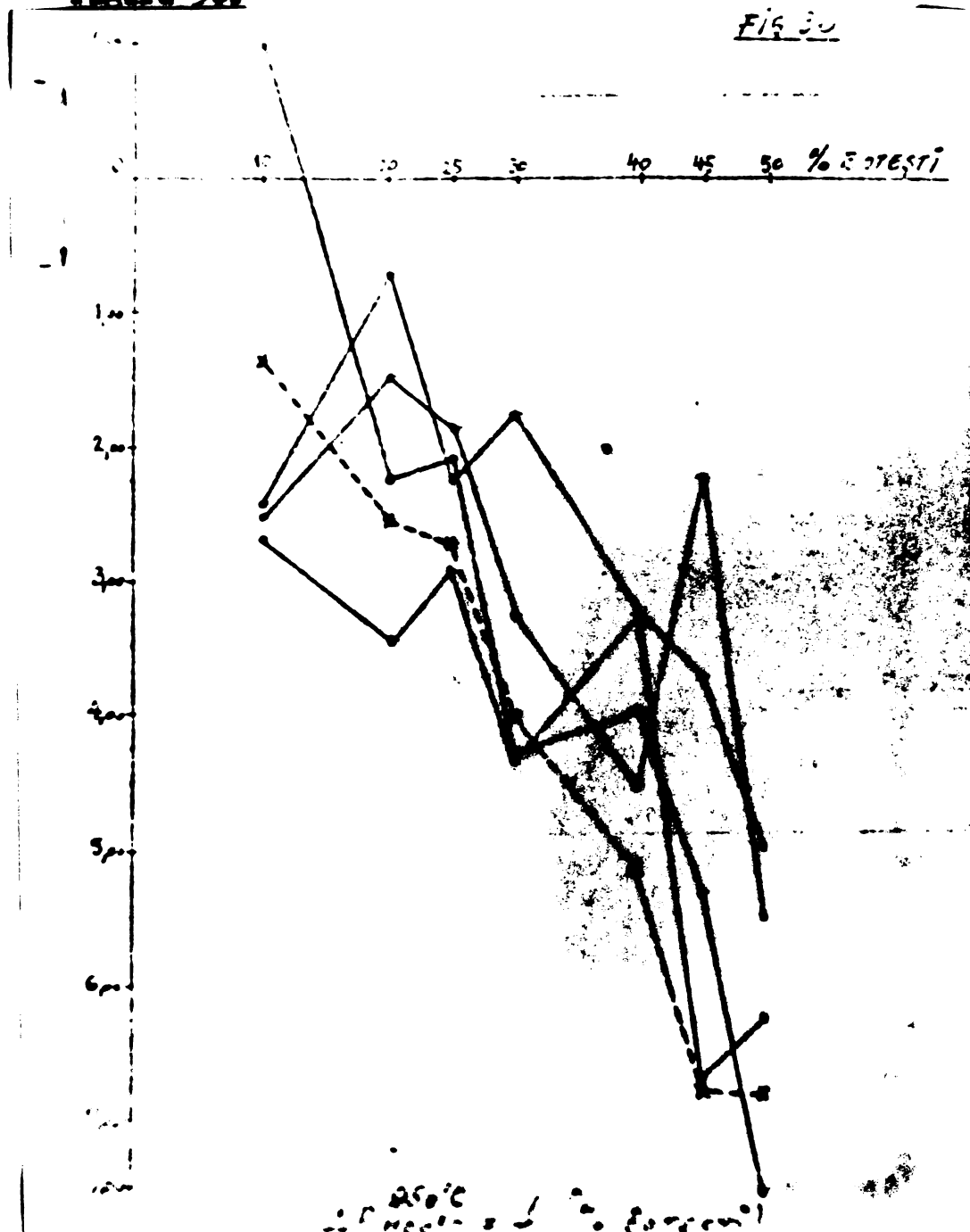


Fig. 30.

III. 2. 3. Rezistențele mecanice ale maselor.

Pentru a stabili conținutul de argilă de Boteni la care dispunea acesteia ca liant său de granulele de șist prezintă un caracter optim din punct de vedere textural s-a considerat utilă urmărirea influenței conținutului de argilă de Boteni asupra rezistențelor mecanice ale maselor.

Din masele experimentale conținând proporțiile de 10, 20, 30, 40, 50% gr. argilă de Boteni s-au preparat epruvete cilindrice pentru incercarea rezistenței la compresiune având $h = 35$ mm, prin presarea maselor cu umiditate 8% la o presiune de 200 daN/cm^2 la o presă hidraulică de laborator. După uscare la 110°C într-o etuvă termoreglabilă, epruvetele au fost supuse arderei, la temperatură de 1100°C , după regimul de ardere descris în incercările precedente. După răcire, suprafețele epruvetelor au fost rectificate cu ajutorul unor discuri abrazive, pentru a deveni plan paralele. Incercarea rezistenței la rupere prin compresiune s-a efectuat pe o presă de incercări tip "TbBA" Timișoara de 2500 kgf, adaptată și pentru incercări la compresiune. Rezultatele, prezentate în fig. 31 sunt media a cîte 8 epruvete din fiecare masă.

Figura 31.

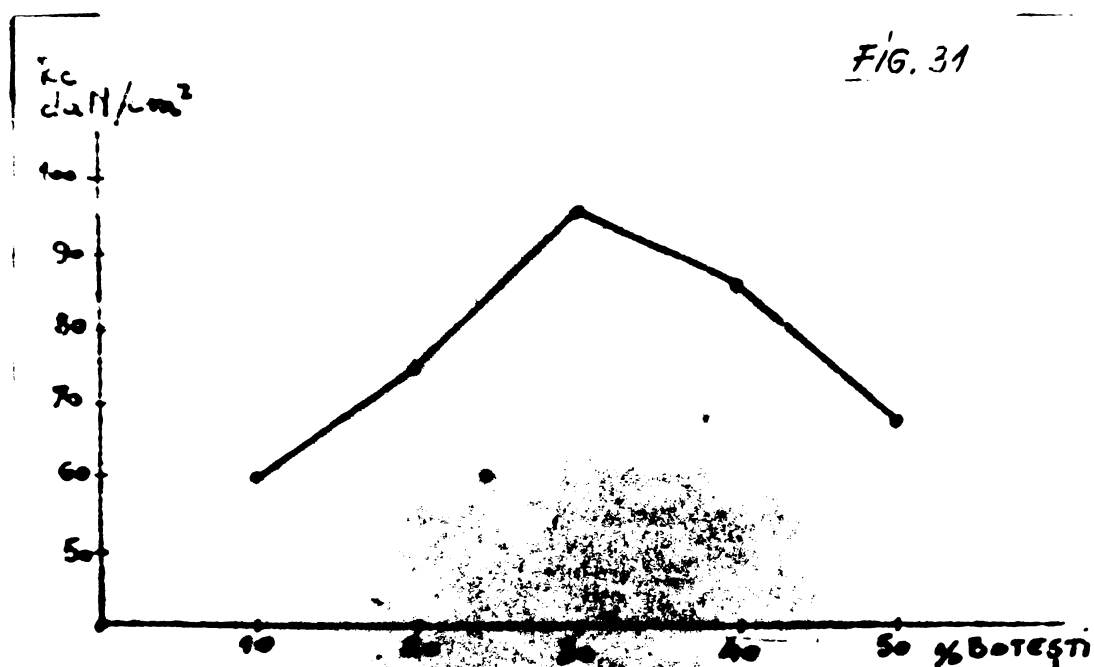


FIG. 31

$R_c = f(\%)$

După cum rezultă din datele reprezentate în fig.31 masa cu conținut de 30% argilă de Botestii și 70% șist prezintă un maxim clar al rezistenței la compresiune față de celelalte compozitii, iar valoarea medie obținută este superioară valorilor prevăzute în standarde pentru produsele termoisolatoare. Acest fapt, împreună cu comportarea optimă la fasonare a aceleiași mase indică după sprijinerea noastră că proporția de 30% argilă de Botestii este cantitatea necesară realizării unei pelicule linte de grosime optimă în jurul granulelor neplastice și mai refractare a șist de Anina.

Pe epruvete confectionate din masa experimentală cu 30% argilă de Botestii în aceleasi condiții de umiditate și presiune, s-a înșorât conform STAS 126-77 și rezistențele la compresiune după ardere la 950°C . Rezistența la compresiune (media înșorărilor pe 10 epruvete) a fost de $f_c = 52,5 \text{ daN/cm}^2$.

III. 3. CONCLUZII

Studiul comportării la fasonare a meseelor experimentale în funcție de conținutul de argilă de Botestii liantă și de umiditatea de fasonare, arată că efectul optim de comportare se realizează în domeniul de umiditate de 8-10% și pînă la un conținut de cca. 30% argilă de Botestii, pentru o presiune de presare de 200 daN/cm².

Studiul comportării la ardere a meseelor experimentale arată că mărimea proporției de argilă de Botestii duce la o creștere a compactării datorită vitrificării sale și la o scădere a porosității nefiind deci recomandabilă deficit pînă la conținut necesar asigurării nivelului corespunzător al proprietăților de fasonare și al rezistențelor mecanice în stare ară.

Rezistențele mecanice ale epruvetelor din diferitele mase, arse la 1100°C , prezintă un maxim pentru masele cu 30 % argilă de Botestii.

Po baza acestor considerente se reține că optimă masa cu compoziția de 30% argilă de Botestii + 70% șist de Anina, fasonată prin presare semiuscată la o umiditate de 8% și la o presiune de presare de 200 daN/cm², care va fi utilizată pentru realizarea unui lot experimental de produse în condiții de fabrică.

IV. OPTINEREA REFRACTARILOR USOARE DIN GIST DE ANIMA
SI ARGILA LA BOTOGI IN CONDITII INDUSTRIALE

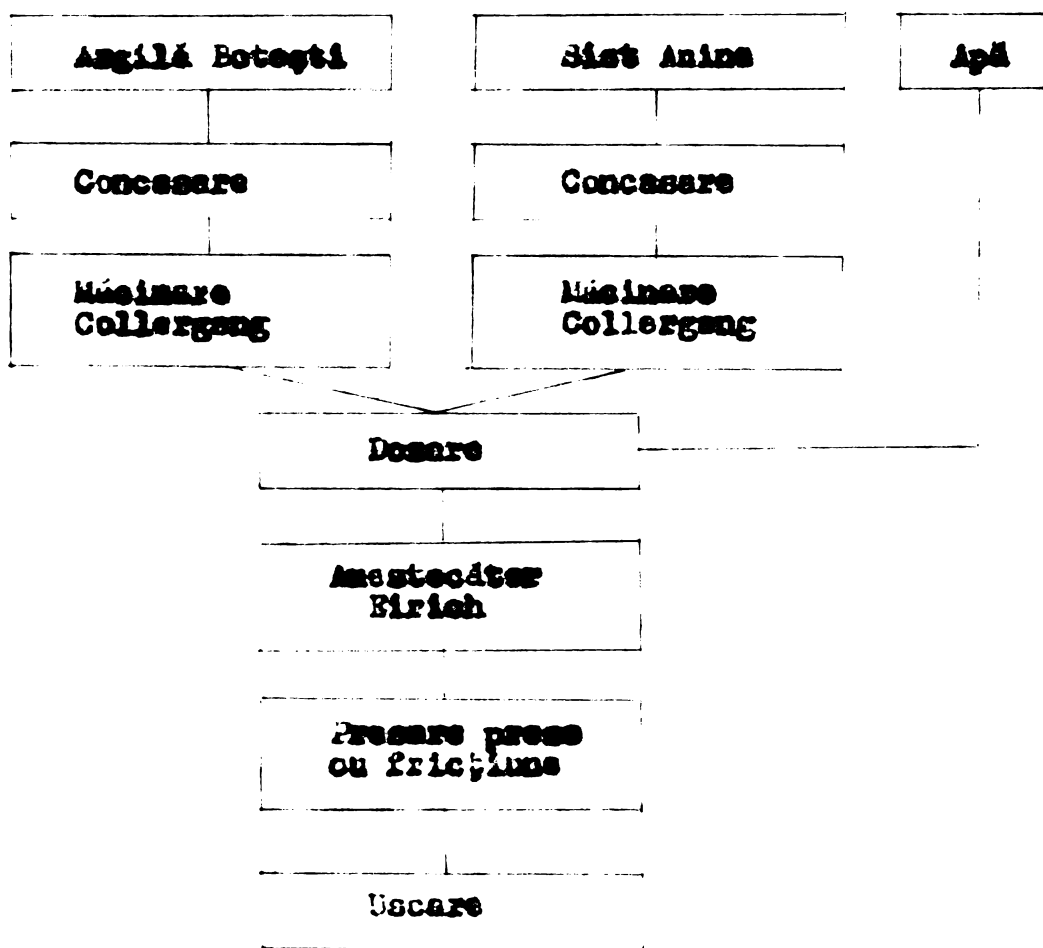
Rezultatele obținute în laborator au permis transpunerea la scara industrială a fabricării cărămidilor refractare de tip ușor.

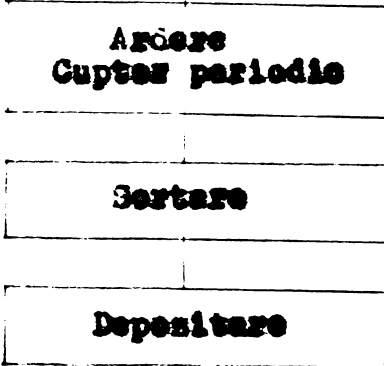
IV. 1. Tehnologia de fabricație clasică a fost adaptată la condițiile existente la întreprinderea de producție refractare "Unirea" din Tg.-Jiu, unde s-a executat un prim lot experimental de 10 tone (4000 buc) cărămidă normală (240 x 115 x 63 mm).

Procesul tehnologic adoptat (precedent semiuscat) s-a realizat în condițiile întreprinderii, fără modificări esențiale ale tehnologiei existente.

Produsele au fost obținute conform schemei de operații reprezentate în figura 31.a.

Fig.31.a.





Parametrii tehnologici aleși, corespunzător fiecărei operații au fost stabiliți pe baza unui studiu amănuntit, al fiecărei faze, urmărind transpunerea cît mai fidelă a condițiilor stabilită în laborator, la scară industrială.

Incercaările efectuate au permis obținerea produsului în condițiile de mai jos:

Argila de Boteni și șistul de Anina au fost concasate în stare uscată pînă la dimensiuni sub 50 mm cu ajutorul unui concasor cu fauci, apoi materialele au fost mărunțite separat într-un colangang pînă la o finitate sub 5 mm. pentru șistul bituminos, sub 3 mm pentru argila de Boteni.

Amestecarea argilei cu șistul s-a făcut într-un melaxor de tip Eirich după dosarea prealabilă corespunzătoare la 30% argilă Boteni, 70% șist bituminos de Anina și 8 % apă reportată la total material uscat.

Timpul de amestecare total a fost de 20 minute. Massa oxigenată a fost apoi granulată prin trecerea peste o sită cu dimensiunea echivalilor de 0,5 mm. după care prin intermediul unui transporter cu molo și a unui elevator vertical cu cupe a fost trecută în buchicarul de elimentare al preselor.

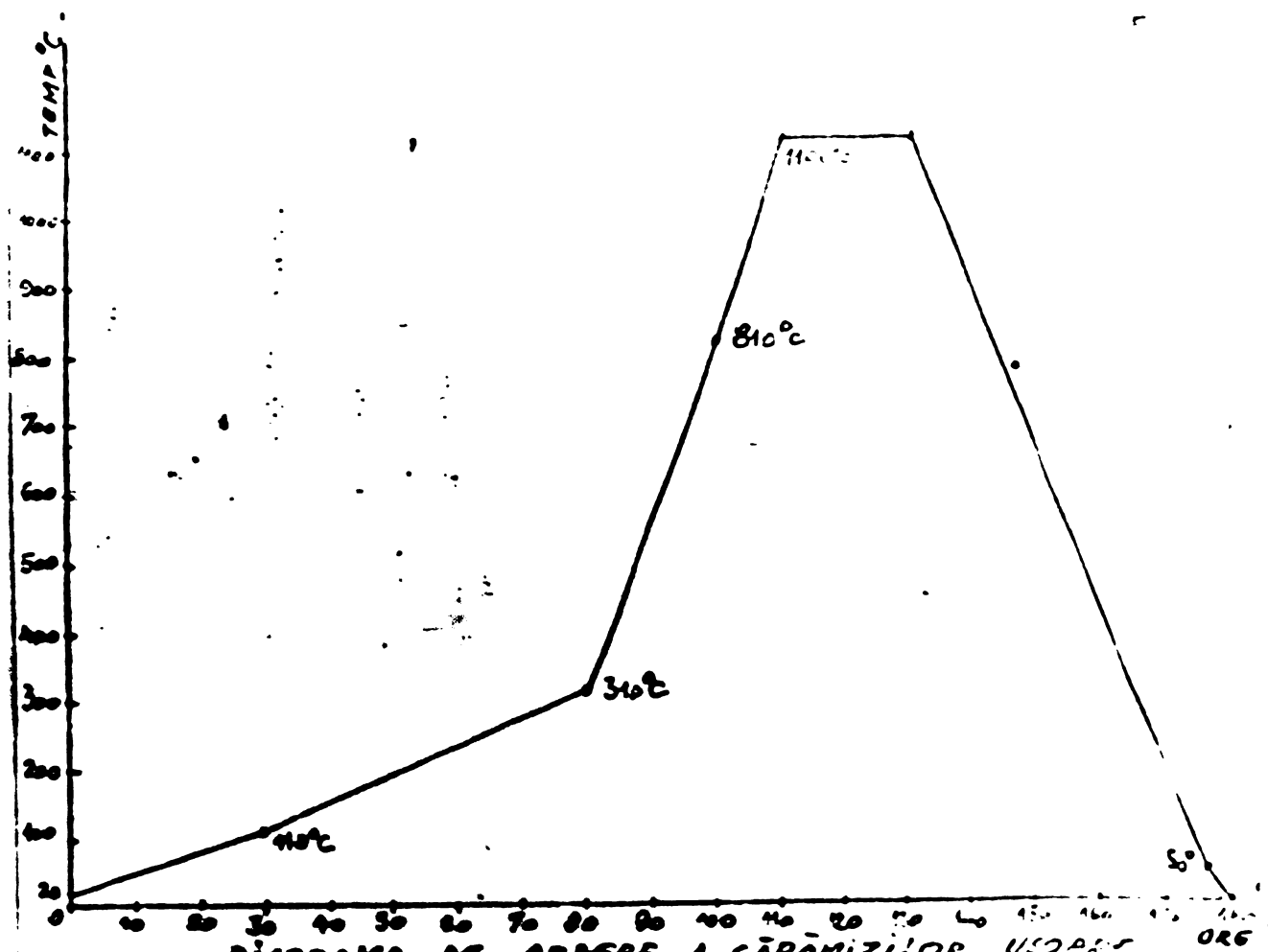
Presarea s-a efectuat la o presiune specifică de 200 daN/cm² prin intermediul unor prese cu frictiune, în două etape, urmărindu-se astfel evitarea unor stratificări.

Procesul tehnologic de fabricație a cărămidilor termo-insolisteare prin procedeul secundar de la fabrica din Tg.Jiu nu prevede faza de uscare a semifabricatelor, acestea trecind direct la faza de ardere.

În consecință nici cărămizile din lotul experimental nu au fost în prealabil uscate și au fost introduse în cuptorul periodic unde curba de ardere prevede o durată relativ lungă de preincalzire, care asigură totodată și eliminarea umidității din produse.

Cuptorul utilizat a fost un cuptor periodic cu camere cu flacără întoarsă, incălzirea efectuindu-se cu combustibil gazos. Arderea s-a efectuat cu spartul calorie al șistului cărbunos la o temperatură de 1100°C , după curbe din figura 32.

Fig. 32



IV. 2. Utilizarea puterii calorifice a sistemului de Anina în elaborarea produselor refractare

Calcule simple de bilanț termic arată că necesarul de calorii pentru arderea produselor fasionate crude reprezentă căldura necesară pentru evaporarea și încălzirea apelor hidroscopic, căldura necesară pentru încălzirea materialului la temperatură de regim și pentru asigurarea desfășurării reacțiilor endotermice și deasemenea pentru recuperarea pierderilor de căldură a cuptorului (aproape la 30% după datele de exploatare a cuptoarelor de la întreprinderea din Tîrgu Jiu) este de 550 kcal/kg, respectiv 1860 kcal/buc. (greutatea unei cărămisi arse este de 3,4 kg.).

Lăsând în considerare puterea calorifică medie de 1000 kcal/kg a sistemului, rezultă că la un conținut de 70% sist în cărămida crudă, necesarul de calorii este asigurat integral, rezultând și un excedent calorific de 150 kcal/kg, respectiv 540 kcal/buc, care se eliberează din cuptor prin tiraj forțat și se utilizează la uscare produselor.

Rezultă deci o folosire eficientă a proprietăților combustibile ale sistemului de Anina, care asigură întregul necesar de calorii pentru arderea produsului evind și un excedent de calorii folosit la uscare.

IV. 3. Comportarea la ardere a produselor a fost satisfăcătoare, în urma sortării a rezultat un procentaj de cca. 6% rebut provenit aproape în exclusivitate din cauza manipulațiilor defectoase.

Pe o serie de probe prelevate din produsele obținute, au fost determinate compoziția chimică și proprietățile fizico-ceramice,

Absorbția de apă, densitatea spărată și porozitatea spărată au fost determinate conform STAS 125-73, iar rezistența la compresiune conform STAS 126-77.

Refractaritatea a determinat în conformitate cu prevederile STAS 124-64, rezistența la încăiere sub sarcină conform STAS 128-75, iar conductivitatea termică după STAS 1912-71.

Rezultatele obținute sunt prezentate în tabelul 12.

T A B E L U L 12

Compoziție chimică	Fe ₂ O ₃	5,64 %
Al ₂ O ₃	32,38 %	
SiO ₂	55,44 %	
CaO	0,36 %	
MgO	1,88 %	
Po.C.	0,24 %	
Proprietăți	U/M	Valori
1.- Absorbția de apă	%	28,2
2.- Densitatea aparentă	g/cm ³	1,48
3.- Porositatea aparentă	%	41,8
4.- Resistența la compresiune	dal/cm ²	55
5.- Refractaritate	°C	1690
6.- Temperatura începutului de deformare sub sarcină	°C	1150
7.- Conductivitatea termică la 800°C	kcal/m°C h	0,68

Valorile obținute concordă cu cele realizate în faza de laborator.

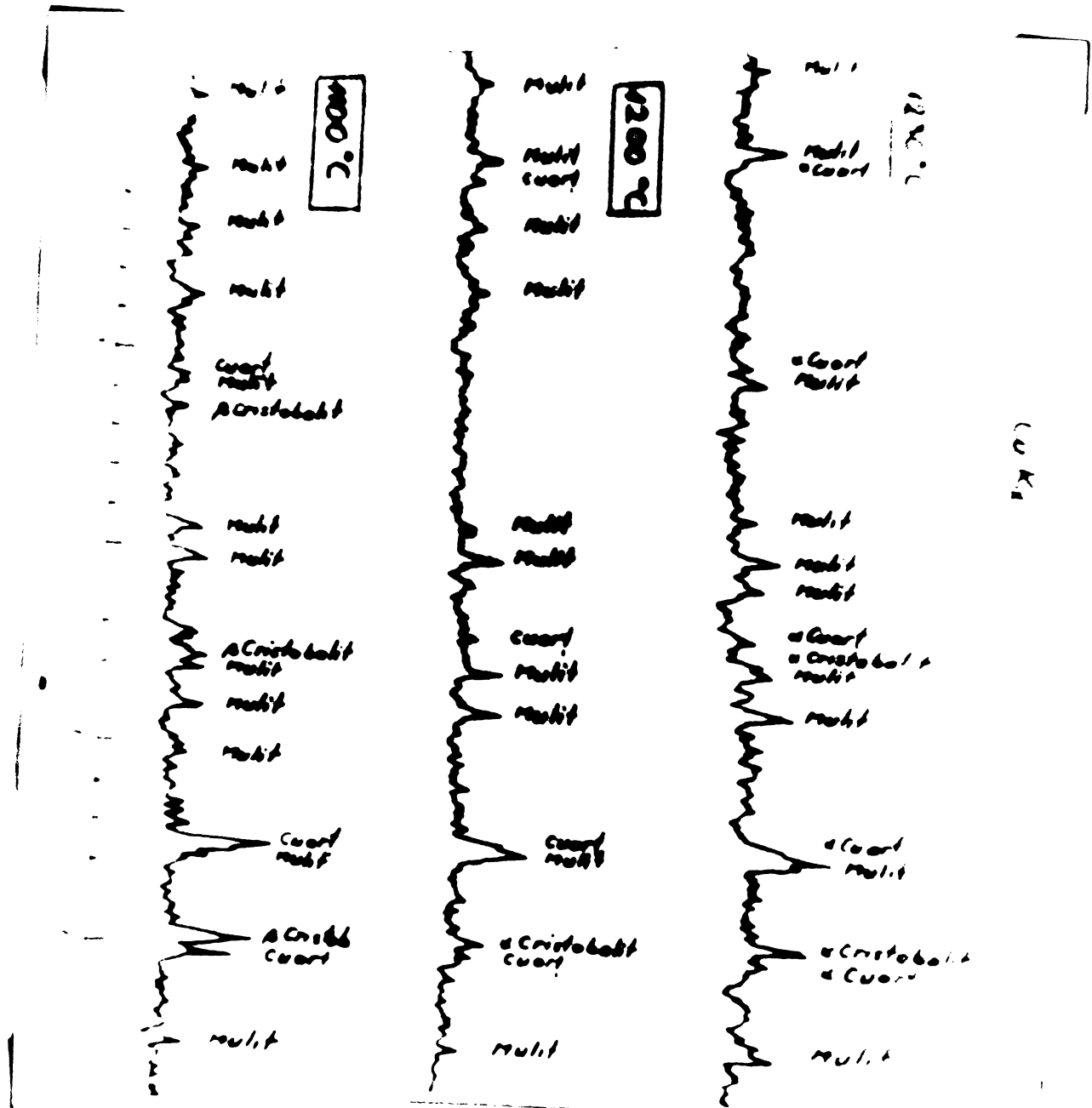
Se remarcă încadrarea produsului în condițiile impuse de STAS 130-76 privind clasificarea produselor refractare, produsul fiind refractor ușor (refractaritate 1690°C și porositate 41,8%).

Față de STAS-ul 3512/2-79 privind produsele refractare termocloratoare silico-aluminoase, fasonate prin presare, unele caracteristici fizice și mecanice ale produsului sunt ușor depășite, (densitatea aparentă și conductivitatea termică) ceea ce conduce la concluzia că este necesar să se extindă asupra tehnologiei în vederea creșterii porosității produsului.

IV. 4. Difracțogramele RX fig.33 executate pe probe prelevate din produse arse la 1100°C, 1200°C și 1230°C relevă un grad de mulținărea care crește cu ridicarea temperaturii de ardere.

La temperaturi mai joase (1100°C) au fost identificate mulțul alături de cuart și cristobalit. Nu se pun în evidență alte componente chiar la creșterea temperaturii pînă la 1230°C.

Page 33



V. TESTAREA PROIECTARILOR OBȚINUTE ÎN CONDIȚII

DE EXPLOATARE

V. 1. După încercările C.R.S la care au fost supuse cărămizile refractare obținute în condiții industriale, acestea au fost testate în exploatare la întreprinderea construcțoare de mașini Reșița prin încidire în cuptoarele de tratament termic tip semiaufă cu vatră mobilă și cu perete deflector între arzător și vatră.

Combustibilul utilizat a fost gazul metan.

Temperaturile de regim au fost $500-900^{\circ}\text{C}$. Necare cuptor are două vatre mobile care se introduc prin intermitență.

Vetrele pe care se așează piesele supuse tratamentului, sub formă de vagoneți sunt introduse în cuptor unde se mențin 10-20 ore, după care se scot, se răsose introducându-se în același tip vatră cu a două încarcatură.

V. 2. Cărămizile au fost însidite după cum urmează :

V. 2. 1. La captuseala de uzuri și izolație termică a unei vatre mobile de 8 m^2 spartînd cuptorului orizontal Nr.2.

V. 2. 2. La însidirea unei porțiuni din peretele deflector (cca. 6 m^2) a cuptorului de detensionare.

Durata totală a testelor a fost de 24 luni.

V. 3. Pe parcursul exploatarii cuptoarelor au fost făcute observații după cum urmează:

V. 3. 1. După 140 cicluri încalzire-racire, porțiunea din peretele deflector și vatră mobilă, prezintă o comportare foarte bună (foto 1 și 2).



Foto.1. Porțiunea de vatră mobilă parțial încrustată cu piese pentru recoscere după 140 de cicluri.

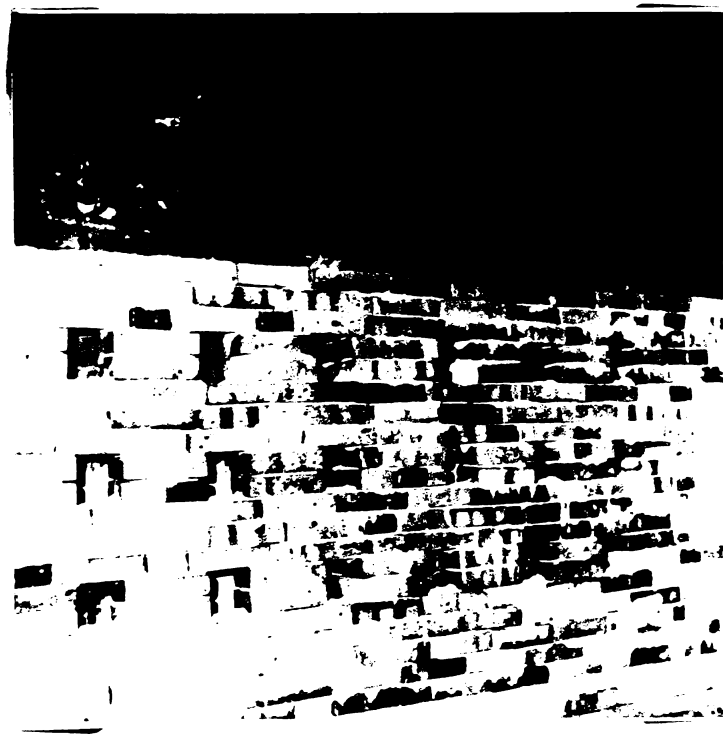


Foto.2. Porțiunea din peretele reflector al cuporului cu vatră mobilă după 140 cicluri.

V. 3. 2. Dupa 262 de cicluri încalzire-refrigerare, efectuate într-o perioadă de 11 luni de exploatare, se constată aceiași comportare foarte bună. (foto 3, 4 și 5).



Foto 3. porțiune din peretele reflector după 262 cicluri.



Foto 4. Porțiune din vatra mobila după 262 cicluri.



Foto 5. Vedere parțială cuptorului cu vatra mobila, după 262 cicluri.

V. 4. Nu se remarcă fisuri sau crăpături care arată de regulă după oca. 6 luni de exploatare, în vetră mobile cu cărămisi de șemotă RC 69. În plus se remarcă o rezistență la uzură mecanică bună a vetrăi mobile. Pe porțiunea din peretele deflector insidită cu cărămisi termoisolatoare, nu se constată umflări, exfolieri sau fisuri.

În aceste condiții durata de exploatare a cuplărilor a fost prelungită cu încă 8 luni, astfel încât după un număr de 374 de cicluri încărcare-răcire (foto 6) vatră mobilă a fost rezidită.

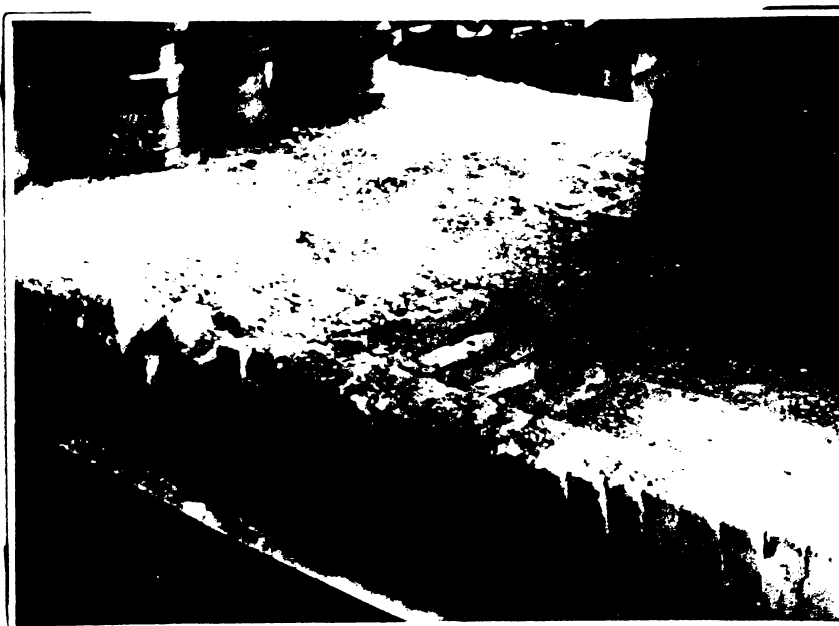


Foto 6. Vatră mobilă după 374 cicluri însântă de rezidire.

Este de menționat că necesitatea rezidirii a apărut ca urmare a deteriorărilor mecanice, cauzate de operațiunile de încărcare-descărcare a unor piese grele din oțel, executate cu podul rulant.

V. 4. 1. După cum rezultă din nota de constatare încheiată pentru perioada 8.II.1978 - 25.VIII.1979 - cărămizile încercate nu au prezentat fisuri sau exfolieri având o bună rezistență la socuri termice și refractaritate corespunzătoare.

De acasădădurabilitatea ridicată a acestei zidării, se doboră și unei bune rezistențe mecanice, rezidirea impunându-se numai ca urmare a loviturilor la manipularea pieselor.

In ceea ce priveste comportarea in exploatare a peretelui deflector acesta se prezinta la 18.II.1980, după 24 luni de la insidire (469 cicluri parcurs) într-o stare foarte bună din toate punctele de vedere, fără fisuri, umflături sau exfolieri, lucru care a determinat menținerea in continuare in exploatare a peretelui.

V. 5. In concluzie deci se poate aprecia comportarea superioară a cărămidelor din sist bituminos în raport cu produsele din şamotă RC 69 la construcția vetrelor mobile și a peretilor deflectoari și cupoarelor de tratamente termice în sensul că ele prezintă o durabilitate mult mai mare, ca urmare a unor bune rezistențe la șoc termic și chiar la uzură mecanică.

VI. CONCLUZII GENERALE

VI. 1. Studiul răngrenografic și analize termice a proceselor care su loc la arderea șisturilor combustibile de la Anina, su pus în evidență caracterul complex al acestora, ele constind din combustie părții organice, decompunerea termică a unor faze minerale însoțiteare și formarea compușilor caracteristici transformărilor la temperaturi ridicate a mineralelor argilosice.

Arderea completă a părții combustibile necesită fie temperaturi ridicate, fie o durată mai mare a perioadei de ardere.

Comportarea la ardere a șisturilor combustibile, precum și formarea unor compuși valoroși din punct de vedere al rezistențelor mecanice (mulit) indică ca o cale potrivită de valorificare a acestora – obținerea unor materiale refractare de tipul cărămidilor ușoare.

VI. 2. Studiul comportării la fasocare a maselor experimentale în funcție de conținutul de argilă de Botești lisență și de umiditatea de fasocare, arată că efectul optim de comportare se realizează în domeniul de umiditate de 8-10% și pînă la un conținut decca. 30% argilă de Botești, pentru o presiune de presare de 200 daN/cm^2 .

Rezistențele mecanice ale epruvetelor din diferitele mase arse la 1100°C , prezintă un maxim pentru masele cu 30 % argilă de Botești.

Pe baza acestor considerente se reține ca optimă masa cu compoziția de 30% argilă de Botești + 70% șist de Anina fasonată prin presare semiautomată, la o umiditate de 8% și la o presiune de presare de 200 daN/cm^2 , care a fost utilizată pentru realizarea lotului experimental de produse în condiții de fabrică.

VI. 3. Exploatarea industrială a demonstret comportarea superioară a cărămidilor din șist bituminos de Anina în raport cu producțile din șamotii EC 69, la construcția vatrelor mobile și a peretilor deflectori ai cupoacelor de tratamente termice, în sensul că ele prezintă o durabilitate mult mai mare, ca urmare a unor bune rezistențe la sec termic și chiar la uzură mecanică.

VI. 4. În scopul calculării eficienței economice rezultate ca urmare a utilizării produselor refractare ușoare pe bază de șist, au fost comparate într-o primă fază elementele de preț de cost ale acestuia cu cele înregistrate la fabricarea cărămizilor arse EC 69 normale în condițiile acelorași unități economice. (Intreprinderea din Rășita).

T A B E L U L 13

Nr. crt.	Elemente preț cost	Cărămizi arse EC 69 normale		Cărămizi ușoare din șist Anina	
		P.U consum lei/t kg/t.	P.U consum lei/t kg/t.	P.U consum lei/t kg/t.	P.U consum lei/t kg/t.
1.- Cărămizi crude	253	1077	595,58	405	1070
2.- Materiale directe			1,14		1,14
3.- Combustibil			8,29		0,52
4.- Energie electrică			0,57		0,57
5.- Retribuție directă			19,71		19,71
6.- Impozit etc.			7,14		7,14
7.- Cheltuieli utilaj			44,86		44,86
8.- Chelt. gen. fabrie.			29,43		29,43
9.- Chelt. gen. întrep.			13,71		13,71
10. Nebuturi			5,14		5,14
11. Total costuri			725,57		555,57
12. Preț vînzare			830		

După cum rezultă din elementele presentate în tabelul 13, prețul de cost total al cărămizilor ușoare din șist de Anina este mai redus cu 170 lei/tonă față de cărămizile arse EC 69 normale. Reducerea este realizată în special pe baza costurilor cărămizilor crude și anume prin eliminarea șamotei necesare la fabricarea produselor EC 69 precum și a prețurilor mai mici a argilei de Boteni și a șistului de Anina față de argila de Buncuieuș.

Deasemenea se remarcă o reducere aproape completă a consumului de combustibil necesar arderei.

Aceste fiind înglobat în șistul cărbunelor de Anina, oferă chiar un excedent termic utilizabil pentru uscare produselor de 150 kcal/kg.

Intr-o fază următoare mai trebuie avute în vedere și consideranțele de ordin calitativ al produsului care permit

utilizarea lui pe durate de timp (număr de cicluri) duble în raport cu refractarele de şamotă RC 69. (vezi concluziile Cap.V).

Avându-se în vedere datele duratei în exploatare se poate deci conta pe reducerea la jumătate a costurilor și în plus pe diminuarea cheltuielilor ocasionate de executarea zidăriei precum și a timpilor de stagnare a cupoarelor cauzate de demolarea, refacerea, uscarea și condiționarea zidăriei refractare.

Dacă la considerentele economice enumerate mai sus, mai adăugăm și faptul că materiile prime, argile de Boteni, respectiv șistul de Anina, constituie resurse naturale locale (Județul Timiș respectiv județul Caraș Severin) cu utilizări actuale relativ restrinse rezultă în mod evident necesitatea valorificării lor.

VI. 5. În concluzie considerăm că utilizarea sistemului cărbunelor de Anina, al cărui conținut energetic, permite realizarea unui produs refractor ușor de tip "șamotă fără șamotă" și fără consum al unui alt combustibil, conduce la valorificarea superioară a zăcămintelor existente, răspinsind în contextul actual al penuriei energetice mondiale, sarcinile trăsute de către conducerea de partid și de stat,

B I B L I O G R A F I E

1. V.Cocheci
 - **Basele tehnologice chimice**
Vol. II Inst.Politehnic „Traian Vuia" Timisoara 1979.
2. R.Abramovici și
M.Braehs
 - Revista Construcțiilor și a Materialelor de Construcții Nr.4 1969
pag. 200 - 203.
3. E.Lungu și
N.Pugănenă
 - Revista Materialelor de Construcții
Nr.1 1976 Vol.6 pag. 51 - 53.
4. S.Solacolu
 - **Chimie fizică a silicatiilor tehnici.**
Ed.tehnica București 1968.
5. R.Dinescu
 - **Basele, tehnologice ceramicii și**
refractarelor. Ed.tehnica București
1966.
6. M.Barczi, F.Hammer
S.Farcas, S.Perec
 - **Materiale refractare și porturi**
construcției crptoarelor. Ed.Tehnica
Budapest 1971.
7. J.Zlatenovici
 - Tehnica 1956 Nr.11 S.1700 - 1705.
8. Mătrai I.
 - Îmbunătățirea indicilor tehnico-economici
ai arderii cărămidilor prin introducerea combustibilului în mase de materii prime. Revista materiale de construcții nr.9 pag. 505 - 511.
9. Russell H.W.
 - I.A.C.S. 1935 Nr.1 pag. 1 - 3
10. Schmitz Hoh și
Dohm K.D.
 - Conductibilitatea termică a cărămidilor
refractare ușoare de găsește în diferite
genuri. Archiv für das Eisenhüttenwesen,
h.J.Germania 40 Nr.1 ianuarie 1969 pag.
41 - 45.
11. Keller D.
 - "Technisch Bul" 1954 Nr.53 pag. 35 - 39.

12. M.A. Lurie și V.P. Gonțăreanu - Produse de refractare ușoare pentru cuptoarele industriale. Noccova "Metallurgia" 1974.
13. Lenhösser W. - Sprechsaal für Keram Glas. am Silic. № 63-6 1966.
14. D.Becharescu, F.Marcz, I.Lenessy, T.Serafin și F.Winter. - Studii asupra sisturilor cărbunioase de hârniță. Revista Materiale de Construcții Nr.2/1980 Vol.10 pag. 33-40.
15. I.A.Olinovski și I.A.Uratov - "Ogneuporî" 1964 №.2 pag. 89 - 90.
16. V.I.Sinkin - "Ogneuporî" 1963 №.12 pag.543 - 545.
17. M.A.Rabinovici - "Ogneuporî" 1962 №.6 pag. 248 - 250.
18. A.A.Pirogov și V.P.Rakina - "Ogneuporî" 1954 №.4 pag. 195 - 197.
19. A.A.Pirogov - "Ogneuporî" 1936 №.5 pag. 260-262.
20. A.A.Pirogov - Materiale refractare și superrefractare ușoare. Horcov O.N.T.I. 1936 pag.55.
21. A.A.Pirogov - Tehnologia ceramicii și al materialelor refractare. Sub redacția P.P.H.Budniescu Ed. Gostrelindst, 1962 pag. 70%.
22. A.A.Pirogov, A.I.Belisen și L.P.Vilson - "Cgneuporî" 1938 nr.7 pag. 1286 - 1288.
23. D.N.Poluboiarincov și E.V.Mireliubova - "Ogneuporî" 1948 nr.10 pag. 435 - 437.
24. M.S.Kamenicinii - "Ogneuporî" 1958 nr.6 pag. 284 - 286.
25. M.A.Rabinovici I.V.Grigoriev I.G.Uliński și alții. - "Ogneuporî" 1964 nr.7 pag. 296 -299.

26. I.S. Zosulin
A.M. Abramovici și
V.I. Cociulescu - "Ogneupori" 1961 nr.12 pag. 560-562.
27. M.A.Rabinovici și
N.F.Frenin - "Ogneupori" 1966 Nr.3 pag.13.
28. A.A.Mashin,
R.S.Milsenec
R.N.Goldinova și
alții. - "Ogneupori" 1969 nr. 10 pag.1
29. I.A.Fain, S.P.Kamenetski - "Ogneupori" 1970 nr. 2 pag. 3
M.A.Rabinovici și alții
30. I.A.Fain, S.P.Kamenetski - "Ogneupori" 1970 nr.10 pag.10-11
D.I. Iusvik
31. I.S.Kainarski,
M.Dines - "Metallurgia" 1961 pag. 469
32. E.R.Slavgorodksia
S.T.Radeenko
V.N.Odrinski - "Ogneupori" 1964 nr.4 pag.151-153
33. M.A.Rabinovici
N.M.Bulovici - "Ogneupori" 1968 nr.5 pag. 6.
34. I.A.Fain, M.A.Rabinovici- "Ogneupori" 1968 nr.1 pag.5.
S.P.Kamenetski și alții.
35. M.A.Rabinovici - "Ogneupori" 1962 nr.6 pag.248-250.
36. A.A.Pirogov,V.P.Pekins - "Ogneupori" 1970 nr.5 pag.36
M.I.Mirokina și alții
37. M.A.Rabinovici,
N.V.Grigroriev,
L.I.Krigman și
alții - "Ogneupori" 1969 nr.5 pag.5-7
38. A.G.Belogrudov - "Ogneupori" 1970 nr.11 pag. 13-14.
39. M.A.Rabinovici
A.I.Jecikov - "Ogneupori" 1965 nr.6 pag.42-44

40. V.D.Tigler
I.L.Kamietki - "Ogneupori" 1962 nr.3 pag. 116, 117.
41. M.A.Rabinovici
K.M.Avsintin - "Ogneupori" 1967 nr.6 pag. 26 - 27.
42. L.A.Tihonova
E.A.Fedorova - "Ogneupori" 1966 nr.6 pag. 59 - 61.
43. V.D.Tigler
A.V.Stovbar - "Ogneupori" 1968 nr.7 pag. 56 - 58.
44. M.A.Rabinovici
I.V.Grigoriev
I.D.Karaseva - "Ogneupori" 1970 nr.5 pag. 14 - 15.
45. V.D.Tigler
A.A.Eltiseva
B.E.Pindrik - "Ogneupori" 1960 nr.7 pag. 299.
46. I.S.Kainarski
A.N.Godn - "Ogneupori" 1963 nr.5 pag. 218 - 219.
47. K.A.Krasotin,
D.B.Minicev
V.L.Vinogradova
si altii - "Ogneupori" 1970 nr.8 pag.5
48. I.S.Kainarski
A.N.Godn - "Ogneupori" 1965 nr.9 pag.32 .
49. I.V.Kopeckii
P.S.Milisenko - "Ogneupori" 1969 nr.6 pag. 3-5.
50. A.A.Pirogov
M.M.Mikosian
V.V.Primecenko - "Ogneupori" 1970 nr.11 pag.52.
51. S.S.Bobkin,
I.M.Danilov
M.L.Bogoslovskis - "Ogneupori" 1962 nr.8 pag. 351-352.
52. I.I.Gusman
G.A.Sereva - "Ogneupori" 1964 nr.6 pag. 281.
53. V.S.Tigler
B.E.Pindrik - "Ogneupori" 1961 nr.5 pag. 268

54. K.A.Krosotin
D.B.Hinicov,
L.V.Vinogradova
și alții
- "Ogneuperti" 1970 nr.8 pag.5
55. A.N.Geodu
I.S.Kainarski
- "Ogneuperti" 1964 nr.8 pag.380-381.
56. I.I.Gusman
D.N.Poluboiarikov
- "Ogneuperti" 1962 nr.10 pag.457-458.
57. I.I.Gusman
V.S.Morosova
- "Ogneuperti" 1963 nr.12 pag.559-560.
58. I.F.Lankelev
- "Ogneuperti" 1962 nr.12 pag.572.
59. N.K.Strelcov
- "Ogneuperti" 1972 nr.2 pag. 1-2.
60. G.P.Prevest
- L'Industrie ceramique nr.702-1 1977
pag. 17 - 20.
61. I.P.Kiehl
- L'Industrie ceramique nr.692-2 1976
pag. 105-111.
62. V.P.Rabenin,
B.D.Stanilov
V.V.Prinatobenka
- "Ogneuperti" (7) iulie 1975 pag.8-11
63. V.V.Prinatobenka
T.A.Zedorajnaia
N.E.Urijanlev
- "Ogneuperti" (10) oct. 1976 pag. 51-54.
64. A.A.Pirogov
- L'Industrie ceramique nr.709-9 1977
pag. 591 - 592.
65. E.Cerwanka
- Ziegelindustrie (1) Ianuarie 1977
pag. 13-20.
66. G.V.Kuklev
I.I.Nemets
S.I.Diskov
- "Ogneuperti" (3) martie 1974 pag.32-36.
67. Iu.D.Gagalevitch
- "Ogneuperti" (5) mai 1974 pag.7
68. A.T.Kotchetova
A.T.Zeleninskia
N.V.Pitak
- Refractares 13 (11) noiembrie 1972
pag. 726-731.

69. P.E.Jeffers
- Brick Clay Rec. 164 (1) ianuarie 1974 pag. 39-44.
70. R.Zeiba
H.K.Schwiete
L.Zagan
- Tonindustrie - Ztg.Keram.Rdsch.98 (3) martie 1974 pag. 53-58.
71. A.V.Jucov
P.V.Filimonov
N.A.Tiritin
- "Ogneupori" (3) martie 1974 pag. 25-31.
72. H.Lehesdorff
- Sprechsaal Keram.Glas Baustoffe 108 (19-20) octombrie 1975 pag. 609.
73. R.J.Ogden
- Silikat I 14 (10) octombrie 1975 pag. 381-384.
74. G.N.Kares,
V.I.Batin
Z.M.Eliseova
- "Ogneupori" (9) septembrie 1975 pag. 11-15.
75. P.Dietrichs
W.Kroenert
- Sprechsaal Keram.Glas Baustoffe 108 (19-20) octombrie 1975 pag. 565-568.
76. G.Overhoff
- Sprechsaal Keram.Glas Baustoffe 108 (19-20) octombrie 1975 pag. 615-616.
77. H.Siegert
- Sprechsaal Keram.Glas Baustoffe 108 (19-20) octombrie 1975 pag. 612-614.
78. G.Rietheuser
H.Schoux
- Silikattechnik 25 (9) septembrie 1974 pag. 297-301.
79. P.Vincenzini
B.P.Loccesi
- Interceram 23 (4) decembrie 1974 pag. 257-260.
80. M.Cassani
- Refractori 5 (2) septembrie-decembrie 1974 pag. 137-151.

81. R.S. Clark - Ceramic Ind. I 84 (989) decembrie 1974-ianuarie 1975 pag. 48-50.
82. Tsibin I.P.
Kelingin G.A.
Strelkov V.V. - "Ogneupori" (1) ianuarie 1975 pag. 21-23.
83. x x x - L'Industrie ceramique 683 aprilie 1975 pag. 258-259.
84. I.Stroe
A.Szabo
L.Petri - Cercetări metalurgice vol.15 - C.D. a revistelor tehnice si metalurgice Bucuresti 1974 pag. 431-487.
85. M.A.Rabinovitch - "Ogneupori" (3) martie 1976 pag.14-15.
86. D.S.Ufimova
R.M.Galaburda
T.D.Trutneva - "Ogneupori" (3) martie 1976 pag.58-59.
87. M.P.Muliartchik - "Ogneupori" (6) iunie 1975 pag.51-56.
88. A.A.Pirogov
G.E.Karas
V.I.Antin - "Ogneupori" (5) mai 1978 pag.8-9
89. M.Burtha - L'Industrie Ceramique nr. 722-11 1978 pag. 754-758.
90. H.Colle
O.H.Emanou - Aufbereit Tech. 19/6 iunie 1978 pag. 278-285.
91. Von Reffen A.W. - Ziegelindustrie nr.12 decembrie 1978 pag. 681-690.
92. Ed.SNIPPR - Producție de refractare izolante în Frenți - broșură.
93. x x x - "Ogneupori" (11) noiembrie 1978 pag. 11-14.
94. A.P.Betalfin
Z.Chepire
V.P.Retina - "Ogneupori" (8) august 1979 pag.53-57.

95. A.A.Piragov
I.V.Scrigoriev
- "Ogneupori" (8) august 1974 pag. 6-10
96. I.Stamenkovic,
V.Simicic
F.Sigrlinski
P.Martinovic
R.Stefanovic
- Cezamargis int. 3 (4) octombrie-decembarie 1977 pag. 168-169.
97. H.Pitek
- "Ogneupori" (4) aprilie 1979 pag. 32-37.
98. I.I.Chakhov
Iu.G.Kalensky
- "Ogneupori" (5) mai 1979 pag. 27-31.
99. A.Jordanici
- Tehnologie produselor ceramice
refractare pag. 315-334.
100. T.Fikay
- Silicates Industriel nr.4 (vol.29)
1964 pag. 155-158.
101. x x x
- Produse refractare noi folosite
in industria metalurgica. IDT
Bucuresti 1965 pag. 76-79.
102. C.Dragomir
Gh.Cheorghiu
L.Sorocoapă
- Tehnologia produselor refractare.
IDT Bucuresti 1964.
103. P.E.Jeffers
- Brick and Clay Record SUA vol. 158
Nr.1/1971 pagine 31-32.
104. R.Dinescu
- Bazele tehnologiei ceramicii.
Ed.Tehnică Bucuresti 1967.
105. P.P.Budniow
- Tehnologia produselor ceramice și
refractare.
Ed.Tehnică Bucuresti 1950.
106. V.N.Slepnev
- Revue internationale des hautes
temperatures 6 Nr. 2/ 1969 pag.
131-135.
107. x x x
- Produse refractare.
CDPTIM Bucuresti 1969. pag. 224-225.

106. K. și P. Engalthuber - Materiale ușoare utilizate în construcții IIT București 1959 pag. 128-136.
109. W. Grinbet - Brick and Clay Record SUA vol.154 nr.4/ 1969 pag. 40-44.
110. M.G.Hoynant - Silicates Industriel nr.6/1969.
111. M.A.Larie - Refractare ușoare pentru cupoare industriale. Moscova 1974.
112. A.Prest - L'Industrie du verre en Europe Vol.39 nr.719/1970 pag. 94-98.
113. I.Rostschka - Glasemail Keram-Teknik Vol.21 Nr.9/70 pagina 325-332.
114. I.Albert - Épitőanyag nr.7/ 1963 pag.241-252.
115. I.Mütsel - Épitőanyag nr.2-3 / 1963 pag.56-63.
116. G.Francke - Silikattechnik nr.10 / 1965 pag.319.
117. H.Friedmann - Silikattechnik nr.11/1965 pag.367.
118. W. Schach - Ziegelindustrie nr.4 1976 pag.141.
119. K.Konopicky - Silicates Industriel nr.1/ 1962.
120. Mezilienekes Stany - Materiale de construcții nr.8/1960 pag.21.
121. I.Mütsel - Materiale de construcții nr.9/1963 pag. 50-570.
122. L.M.Liokumovici - Materiale de construcții nr.9/1965 pag. 581 - 582.
123. V.P.Zegada - "Ogneupari" 1959 Nr.7 pag. 325-329.
124. V.P.Zegada - "Ogneupari" 1959 Nr.9 pag. 419-425.

125. V.D.Tigler
P.G.Belubm - "Ogneupori" 1960 nr.12 pag.545.

126. V.D.Tigler
A. Miltseva
B.o.m.Pindrik - "Ogneupori" 1960 nr. 7 pag.299-305.

127. V.D.Tigler
B.E.Pindrik - "Ogneupori" 1961 nr. 5 pag.203-213.

128. V.D.Tigler
N.B.Kamenetski - "Ogneupori" 1962 nr. 3 pag.116, 117,

129. V.D.Tigler
S.B.Vinecov
E.S.Mitrohina - "Ogneupori" 1963 nr.11 pag.504-508.

130. N.I.Kovalciuk - "Ogneupori" 1963 nr.11 pag.534-535.

131. A.A.Pirogov - "Ogneupori" 1962 nr. 6 pag.275-283.

132. M.A.Rabinovici - "Ogneupori" 1962 nr. 6 pag.248-250.

133. S.S.Bovkin
I.M.Dencicuk
D.J.Loroslovenskia - "Ogneupori" 1962 nr. 8 pag.351-355.